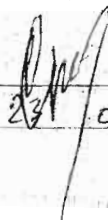


Министерство образования и науки Российской Федерации
Федеральное государственное бюджетное образовательное учреждение
высшего профессионального образования
«Южно-Уральский государственный университет»
(национальный исследовательский университет)
Факультет заочный инженерно-экономический
Кафедра «Машины и технологии обработки материалов, давлением»

ВКР ПРОВЕРЕНА

Рецензент



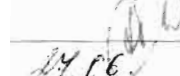
23/06

2016г.

ДОПУСТИТЬ К ЗАЩИТЕ

Заведующий кафедрой,

д.т.н., профессор



В.Г. Шеркунов

24/06

2016г.

РЕКОНСТРУКЦИЯ РАБОЧЕГО ОРГАНА
ЭКСКАВАТОРА – ТРАНШЕЕКОПАТЕЛЯ

ПОСТАНОВИТЕЛЬНАЯ ЗАПИСКА
К ВЫПУСКНОЙ КВАЛИФИКАЦИОННОЙ РАБОТЕ
151000.62.2016.771.00 НЗ ВКР

Консультанты:

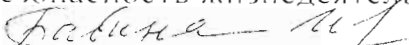
Экономический раздел



А.Б. Иванова, к.и.н.

«23 » июня 2016 г.

Безопасность жизнедеятельности



И.А. Бабина, к.ф.-м.н.

«23 » июня 2016 г.

Руководитель ВКР



Е.А.Храмцов

«20 » июня 2016 г.

2016 г.

Автор работы

студент группы Ем3 478



А.В.Нагирин

«26 » июня 2016 г.

2016 г.

Нормоконтролер



А.В.Некчинова, ст. преп.

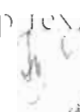
«26 » июня 2016 г.

2016 г.

Челябинск 2016

Министерство образования и науки Российской Федерации
Федеральное государственное бюджетное образовательное учреждение
высшего профессионального образования
«Южно-Уральский государственный университет»
(национальный исследовательский университет)

Факультет Заочный инженерно-экономический
Направление подготовки 151000.62 Технологические машины и оборудование
Кафедра Машины и технологии обработки материалов
давлением

УТВЕРЖДО
Зав. кафедрой
доктор тех. наук, профессор

V.L. ЧЕРКУНОВ
д.т.н., проф.
2016г.

ЗАДАНИЕ

на выпускную квалификационную работу студента (ки)

гр. Тм3 – 478 Шадрина Андрея Валерьевича

1. Тема работы «Реконструкция рабочего органа экскаватора – гранитоискатель»
утверждена приказом от « 24 » 04 2016г № 838

2. Срок сдачи студентом законченной работы 23 июня 2016г.

3. Исходные данные к работе

- 1 Чертеж экскаватора - гранитоискателя (общий вид)
- 2 Чертеж рабочего органа
- 3 Расчетные данные
- 4 Научно-техническая литература

4 .Содержание расчетно-пояснительной записки (перечень подлежащих разработке вопросов)

Аннотация

Оглавление

Введение

Анализ исходных данных

ОБЩИЕ СВЕДЕНИЯ И АНАЛИЗ ОСОБЕННОСТЕЙ КУНСТРУКЦИИ ЭКСКАВАТОРА – ТРАНШЕЕКОПАТЕЛЯ

Анализ существующих конструкций (патентный обзор). Характеристика разрабатываемой среды. Предварительный анализ и характеристика модернизированного узла.

Конструкторский раздел

ОБЩИЙ РАСЧЕТ ЭКСКАВАТОРА-ТРАНШЕЕКОПАТЕЛЯ

Общий кинематический расчет динамической землеройной машины. Кинематический расчет привода цепного рабочего органа. Производительность машины с выносящей способностью цепного рабочего органа и метателья.

РАЗРАБОТКА РАБОЧЕГО ОБОРУДОВАНИЯ С ГРАННЕЦЕНТРИЧНЫМ СКРЕБКОВЫМ ЭЛЕМЕНТОМ.

Силовой расчет цепного рабочего органа. Расчет гидравлического устройства и фрез. Расчет гидросистемы привода рабочего органа динамической землеройной машины. Результаты расчетов и определение рациональных параметров рабочего органа траншееекопателя на основании теоретических и расчетных критериев.

Безопасность жизнедеятельности

ОСНОВНЫЕ МЕРОПРИЯТИЯ ПО ТЕХНИКЕ БЕЗОПАСНОСТИ И ОХРАНЕ ТРУДА ПРИ ЭКСПЛУАТАЦИИ ЦЕПНОГО ТРАНШЕЕКОПАТЕЛЯ

Анализ вредных факторов, возникающих при работе цепного траншееекопателя. Нормативные параметры метеорологических условий и допустимое содержание вредных веществ в воздухе рабочей зоны при работе цепного траншееекопателя. Общие положения по охране труда при выполнении земляных работ. Правила для лиц, находящихся вблизи цепного

траншеекопателя. Пожарная безопасность и средства тушения пожаров. Расчет устойчивости цепного траншеекопателя.

Экономический раздел

ОПРЕДЕЛЕНИЕ ГОДОВОГО ЭКОНОМИЧЕСКОГО ЭФФЕКТА ОТ ПРИМЕНЕНИЯ РЕКОНСТРУКЦИОННОГО ЦЕННОГО ЭКСКАВАТОРА

Исходные данные для расчета. Определение годового объема работ. Расчет капитальных затрат. Расчет текущих затрат. Определение годового экономического эффекта. Определение удельной фондоемкости. Определение годовых эксплуатационных издержек. Снижение затрат на материалы. Расчет срока окупаемости. Основные технико-экономические показатели реконструкции

Заключение

Библиографический список

Приложение

5. Перечень графического материала (с точным указанием обозначенных чертежей)

1	Обзор конструкций рабочих органов траншеекопателей	1 лист
2	Траншеекопатель цепной	2 лист
3	Оборудование рабочее	1 лист
4	Орган цепной рабочий	1 лист
5	Узел приводных звездочек	1 лист
6	Фреза боковая	1 лист
7	Элемент скребковый грунтовыносной	0,5 лист
8	Схема кинематическая	0,5 лист

9 Схема гидравлическая	0,5 лист
10 Показатели технико-экономические	0,5 лист

Всего 10 листов

6. Консультанты по ВКР, с указанием относящихся к ним разделов работы

Раздел	Консультант	Но письма №
БЖД	Сабина НА	Задание выдано Храмцов
Экономический	Иванова А.В.	№ 64/6 Задание принят

Дата выдачи задания 23.04.2016 г.

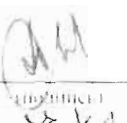
Руководитель Храмцов Евгений Александрович

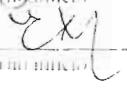
Задание принято к исполнению 23.04.2016 г.

Студент Наукин А.В.

КАЛЕНДАРНЫЙ ГИД

Назначение этапов выпускной квалификационной работы	Срок выполнения этапов работы	Формато выности
Анализ исходных данных	02.06.2016	Выявление ЭХЛ
Конструкторский раздел	11.06.2016	Выявление ЭХЛ
Экономический раздел	18.06.2016	Выявление ЭХЛ
Раздел БЖД	23.06.2016	Выявление ЭХЛ

Зав. кафедрой _____ 
Иванов Иван Иванович

Руководитель работы _____ 
Храмцов Г.А.

Студент _____ 
Шарипов А.В.

В.И. Шеркупов
 Г.А. Храмцов
 А.В. Шарипов

АННОТАЦИЯ

Шадрин А.В. Реконструкция рабочего органа Экскаватора – траншеекопателя – г.Челябинск: ЮУрГУ, МиТОМД, 2016, 105 с.,26 ил., 19 табл., 6 прил. Библиографический список – 11 наименования.

В выпускной квалификационной работе проанализированы основные направления развития рабочих органов экскаватора – траншеекопателя, а также патентных материалов, которые позволили установить основные тенденции развития экскавационных машин. Рассмотрены характеристики разрабатываемых сред. Проведены: кинематический расчет, расчет производительности машины. Рассчитан и спроектирован новый рабочий орган землеройной машины с выносящей способностью.

В программе Компас – 3D спроектирован чертежи цепного траншеекопателя, его рабочего оборудования, натяжного устройства, боковой фрезы, скребкового трапециевидного элемента рабочего органа, а также гидравлическая схема привода и кинематическая схема экскаватора – трашеекопателя.

Произведено обеспечение требований безопасности при реконструкции рабочего органа, рассчитаны затраты и обоснована экономическая оценка от внедрения результатов дипломного проекта.

Поз	Дата	№ экзempl	Подпись	Дата
Руково	Шадрин А.В.	26.06.16		
Проверил	Ляхиров Е.А.	26.06.16		
Чтвёртко	Печникова А.В.	26.06.16		
Учеб.	Шеркунов В.Ф.	26.06.16		

151000.62.2016.771.00.00.ПЗ

Реконструкция рабочего органа экскаватора – траншеекопателя

Литера	Лист	Листов
ВКР	7	105
ЮУрГУ г. Челябинск Кафедра МиТОМД		

СОДЕРЖАНИЕ

ВВЕДЕНИЕ.....	10
1 ОБЩИЕ СВЕДЕНИЯ И АНАЛИЗ ОСОБЕННОСТЕЙ КОНСТРУКЦИИ ЭКСКАВАТОРА – ТРАНШЕЕКОПАТЕЛЯ.....	11
1.1 Основные направления и общие тенденции развития рабочих органов экскаватора.....	11
1.2 Анализ существующих конструкций (патентный обзор)	12
1.2.1 Рабочее оборудование землеройной машины	12
1.2.2 Рабочее оборудование землеройной машины.....	13
1.2.3 Траншескопатель.....	15
1.2.4 Экскаваторное устройство для использования с тягачом.....	16
1.3 Характеристика разрабатываемой средой.....	17
1.4 Предварительный анализ и характеристика модернизированного узла	22
2 ОБЩИЙ РАСЧЕТ ЭКСКАВАТОРА-ТРАНШЕЕКОПА ГЕЛЯ.....	23
2.1 Общий кинематический расчет динамической землеройной машины ..	23
2.1.1 Определение центра масс машины.....	23
2.1.2 Кинематический расчет привода цепного рабочего органа.	31
2.2 Производительность машины с выносящей способностью цепного рабочего органа и метателя.....	33
3 РАЗРАБОТКА РАБОЧЕГО ОБОРУДОВАНИЯ С ТРАНШЕЕВЫДЫМЫМ СКРЫВОВЫМ ОДИ МЕНТОМ.....	34
3.1 Силовой расчет цепного рабочего органа	34
3.1.1 Расчет цепного рабочего органа.....	35
3.1.2 Расчет сил резания боковой фрезой.....	37
3.1.3 Расчитываем приведенную глубину резания.....	39
3.2 Расчет натяжного устройства и фрез.....	45
3.3 Расчет гидросистемы привода рабочего органа динамической землеройной машины.....	47
3.3.1 Расчет гидроцилиндров привода.....	52
3.3.2 Расчет трубопроводов гидропривода.....	57
3.3.3 Определение КПД гидравлического привода РО	62
3.4 Результаты расчетов и определение рациональных параметров рабочего органа траншескопателя на основании теоретических и расчетных данных	64
4 ЭКОНОМИЧЕСКАЯ ЧАСТЬ.....	70
4.1 Определение годового экономического эффекта от применения реконструированного цепного экскаватора.....	70
4.2 Определение годового объема работ.....	71
4.3 Расчет капитальных затрат.....	73
4.4 Расчет текущих затрат.....	73
4.5 Определение годового экономического эффекта.....	76
4.6 Определение удельной фондоемкости.....	76
4.7 Определение годовых эксплуатационных издержек.....	76
4.8 Снижение затрат на материалы.....	77
4.9 Расчет срока окупаемости.....	77

5 ОХРАНА ТРУДА И ПРОИЗВОДСТВЕННАЯ БЕЗОПАСНОСТЬ	79
5.1 Анализ вредных факторов, возникающих при работе цепного траншеекопателя.....	79
5.2 Нормативные параметры метеорологических условий и допустимое содержание вредных веществ в воздухе рабочей зоны при работе цепного траншеекопателя.....	84
5.3 Общие положения по охране труда при выполнении земляных работ	85
5.4 Правила для лиц, находящихся вблизи цепного траншеекопателя.	90
5.5 Пожарная безопасность и средства тушения пожаров.	91
5.6 Расчет устойчивости цепного траншеекопателя...	93
ЗАКЛЮЧЕНИЕ	98
БИБЛИОГРАФИЧЕСКИЙ СПИСОК	99
ПРИЛОЖЕНИЕ А	100
ПРИЛОЖЕНИЕ Б	101
ПРИЛОЖЕНИЕ В	102
ПРИЛОЖЕНИЕ Г	103
ПРИЛОЖЕНИЕ Д	104
ПРИЛОЖЕНИЕ Е	105

ВВЕДЕНИЕ

В различных отраслях народного хозяйства ежегодно выполняются громадные объемы земляных работ, преобладающая часть которых производится экскаваторами.

Экскаваторами называют землеройные машины, предназначенные для разработки и перемещения грунта.

Отечественное экскаваторостроение интенсивно развивается после Великой Отечественной войны. В 1955 году было выпущено свыше 4500 экскаваторов. В 1965-1975 годах произошел коренной перелом в экскаваторостроении: резко увеличился выпуск машин с гидравлическим приводом. Вызвано это тем, что гидравлические экскаваторы позволяют не только в 1,5...2 раза повысить производительность по сравнению с экскаваторами других типов, но и значительно поднять уровень механизации многих видов земляных работ за счет использования большого числа смешанных видов рабочего оборудования и рабочих органов. Важность повышения эффективности строительной техники вызвана необходимостью значительно сократить затраты ручного труда в строительных организациях новыми высокопроизводительными машинами.

Из основ создания динамических машин можно сделать вывод, что основной задачей является создание машины, которая выполняла бы операции быстро и четко. При отрывании траншей такая проблема существует. Неоднородность грунтового массива, изменение его физико-механических свойств во времени и пространстве отрицательно влияют на технологичность процесса разработки котлованов в грунтах. Направлением развития динамических землеройных машин есть создание универсальной машины, которая бы обеспечила движение разного рода и характера, а возможно и технологические процессы.

Целью работы является определение рациональных параметров рабочего органа (РО) экскаватора — траншееекопателя и разработка новой конструкции РО со скребковыми грунтовыносными элементами, которые имеют криволинейную

форму. Данная реконструкция позволяет повысить техническую производительность экскаватора — гравиметражный

ГОДНЫЙ СВИДЕТЕЛЬСТВО И АНАЛИЗ ОСОБЕННОСТЕЙ КОНСТРУКЦИИ ЭКСКАВАТОРА – ТРАНСПОРТАЦИЯ

1.1 Основные направления и общие тенденции развития рабочих органов экскаватора

Анализ развития землеройных машин и гидравлических материалов позволяет установить следующие основные тенденции в развитии рабочих органов:

- увеличение размеров соответственно повышению мощности машин;
- разделение на функциональные элементы и узлы в соответствии с особенностями процессов взаимодействия с грунтом;
- применение устройств, интенсифицирующих комаше, транспортирование и разгрузку грунта;
- применение устройств, обеспечивающих оптимизацию параметров в процессе работы в зависимости от выполняемых операций; применение новых физических методов разрушения грунтов.

Общие тенденции развития конструкции экскаватора связанные с совершенствованием конструкции базовых машин экскаватора и РО. Ключевые важнейшие из них являются:

- расширение типоразмерного ряда в направлении создания легкодорожных и тяжелых машин;

– повышение удельной мощности при сравнительно небольшом увеличении массы;

– применение более прочных материалов, введение смазки, антифрикционных устройств;

– снижение трудоёмкости технического обслуживания;

– улучшение условий труда за счёт снижения трудоёмкости управления машиной, уменьшение шума, вибраций, загазованности, запылённости;

– повышения безопасности работы оператора, благодаря внедрению защиты;

– расширение номенклатуры экскаваторного оборудования (ковш с крыльчаткой, сферические и полусферические РО);

создание тяжёлых экскаваторов на базе спаренных платформ.

- использование автоматических (специальных) систем управления РО;
- расширение области применения экскаватора путём использования сменного РО.

1.2 Анализ существующих конструкций (патентный обзор)

1.2.1 Рабочее оборудование землеройной машины

Патент Украины № 98126408, опубликованный 15.02.2001 Бюл. № 1, 2001

Авторы: Петренко Николай Николаевич, Василенко Федор Иванович, Марченко Константин Николаевич. Кировоградский институт сельскохозяйственного машиностроения "Рабочее оборудование землеройной машины" (смогр. рисунок 1).

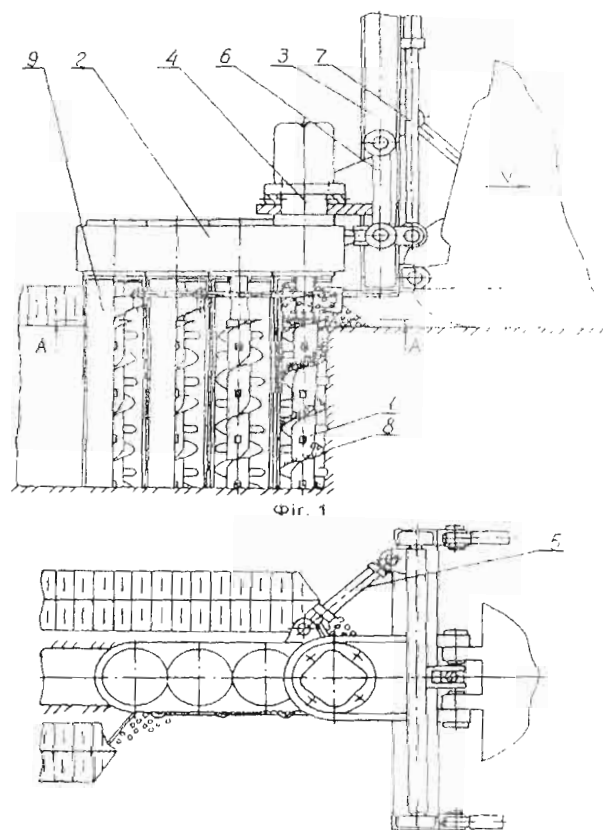


Рисунок 1 – Рабочее оборудование землеройной машины

Рабочее оборудование землеройной машины, которая содержит новой с установленными на его валах рабочими органами, механизм выдачи грунта, которое отличается тем, что рабочие органы размещены вертикально на валах привода, который выполнен как редуктор, установленный на раме с возможностью поворота в горизонтальной плоскости и перемещение в вертикальной плоскости, а механизм выдачи грунта состоит из винтовых поверхностей, размещенных на рабочих органах и кожухов.

Задача, которая решается изобретением, является повышение статической производительности машины за счет совмещения операции по передвижке рабочего оборудования, соответственно, заданным размерам траншеи с основным рабочим процессом, обеспечение бесступенчатого варьирования ширины траншеи за счет изменения взаимного положения фрез в горизонтальной плоскости глубины копания за счет возможности перемещения рабочих органов в вертикальной плоскости.

Поставленная задача решается тем, что рабочие органы размещены вертикально на валах привода, который выполнен как редуктор, установленный на раме с возможностью поворота в горизонтальной плоскости и перемещение в вертикальной плоскости, а механизм выдачи грунта состоит из винтовых поверхностей, размещенных на рабочих органах и кожухов. Выполнение рабочих органов с подвижным приводом относительно рамы дает возможность менять параметры рабочего оборудования в соответствии с заданными размерами траншеи.

1.2.2 Рабочее оборудование землеройной машины

Патент Украины № 4777487/03, опубликованный 15.03.92 в бюл. № 10
Авторы: А.Ю. Ким, А.С. Мусаниров, В.В. Гарасов, Ф.А. Чебогарев, В.А. Ким и
В.И. Зеленский. Целиноградский инженерно-строительный институт "Рабочее
оборудование землеройной машины" (смотри рисунок 2)

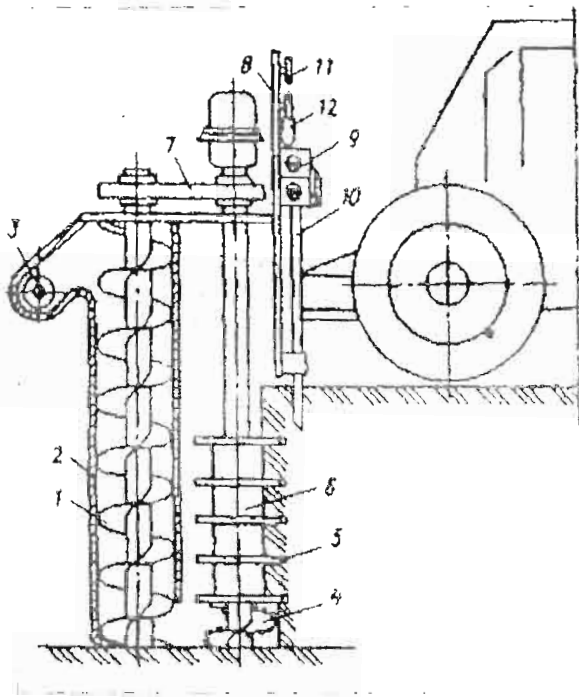


Рисунок 2 – Рабочее оборудование землеройной машины

Изобретение относится к рабочему оборудованию землеройных машин. Цель - снижение энергоемкости разрушения грунта и повышение производительности. Рабочее оборудование землеройной машины смонтировано на базовой машине и имеет параллельно расположенные режущие органы - транспортирующий орган и вибромотор 9 с клином 10. Режущий орган выполнен в нижней части из прерывчатого шнека 4 с резцами, а в верхней - из секторных ножей 5, между которыми расположены цилиндрические фрезы 6. Транспортирующий орган выполнен в виде шнека 1 с кожухом 2. Возвратно-поступательное перемещение вибромотора вырабатывается с помощью механизма, выполненного в виде гидроцилиндра и канатно-блочной системы. Приводом 7 приводится шнек 1 и режущий орган. При этом секторные ножи 5 глубоко вдавливаются в забою горизонтальных канавок, а резцы шнека 4 срезают грунт у дна ямки. В первом замедлении происходит скол разрезанных пластов грунта к клину 10, прикрепленному к вибромотору 9, вращающиеся секторные ножи захватываются в забое разработанный грунт, который разрывается вращающимися цилиндрическими фрезами 6. Грунт проваливается в зону шнека 4 и потом поступает на шнек 1.

1.2.3 Траншеекопатель

Авторское свидетельство №4931149/03, опубликованное 23.01.93 в бюл. №3

Авторы: А.Ю.Ким, В.И.Зеленский, В.А.Ким, А.М. Чуркинцов и М.І.Свешников

Целиноградский инженерно-строительный институт "Траншеекопатель" (см.рисунок 3).

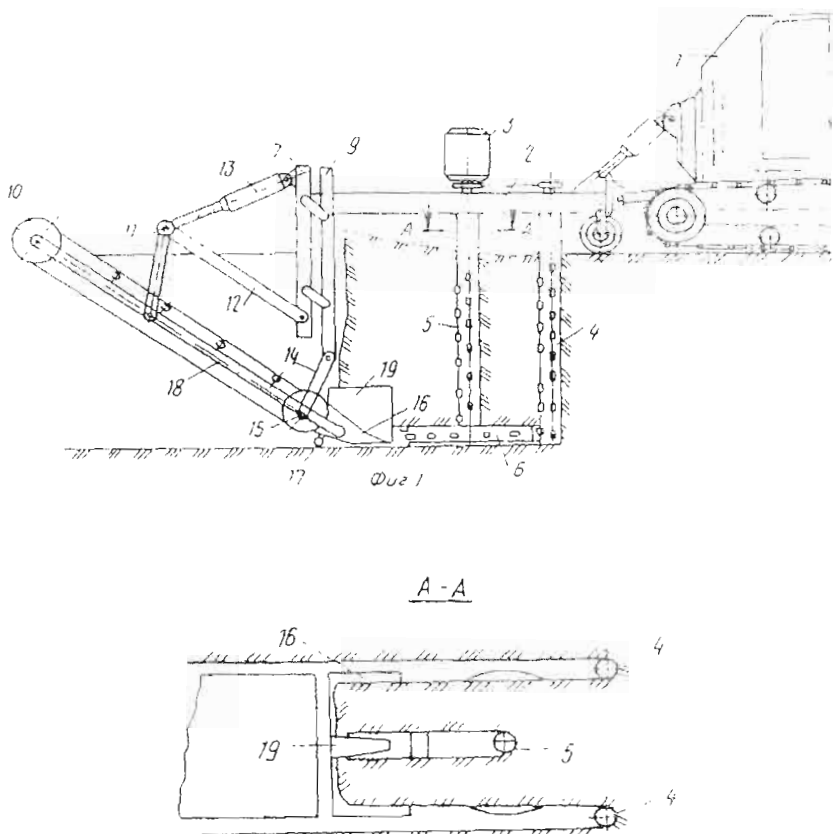


Рисунок 3 Траншеекопатель

Суть изобретения: траншеекопатель имеет режущие рабочие органы, в виде вертикальных шпеков и транспортирующий орган с подвеской. Последний выполнен в виде шарнирного четырехзвенника, коромысло которого нижними концами шарнирно соединено с транспортирующим органом, а верхними с гидроцилиндром, связанным с верхней частью монтажной стойки, а с помощью рычага - с ее нижней частью. Другое коромысло связано с нижним концом по движущей стойке, подвешенной с помощью сервина к монтажной стойке. Один шпек имеет дисковую фрезу для подрезывания грунта в дне траншеи.

Конструкция траншеекопателя отличается тем, что с целью повышения производительности путем снижения сопротивления разрушения грунта клиновыми режущими рабочими органами, выполненным в виде вертикальных пинков, один из которых, расположенный перед транспортирующим органом, снабжен дисковой фрезой для подрезания грунта у дна траншеи и механизма подвески транспортирующего органа выполнен в виде шарнирного четырехзвенника, коромысла которого нижним концом шарнирно соединено с транспортирующим органом, а верхним, связанным с верхней частью монтажной стойки, а с помощью рычага - с ее нижней частью, а другое связьное с нижним концом подвижной стойки, подвешенной с помощью серьги к монтажной раме.

1.2.4 Экскаваторное устройство для использования с тягачом

Патент России № 95073158, опубликованный 16.10.2000, бюл. № 9-2000

Авторы: Николай Джеек, "Джеек мастенброк энд компани инкорп" (США) (смотри рисунок 4)

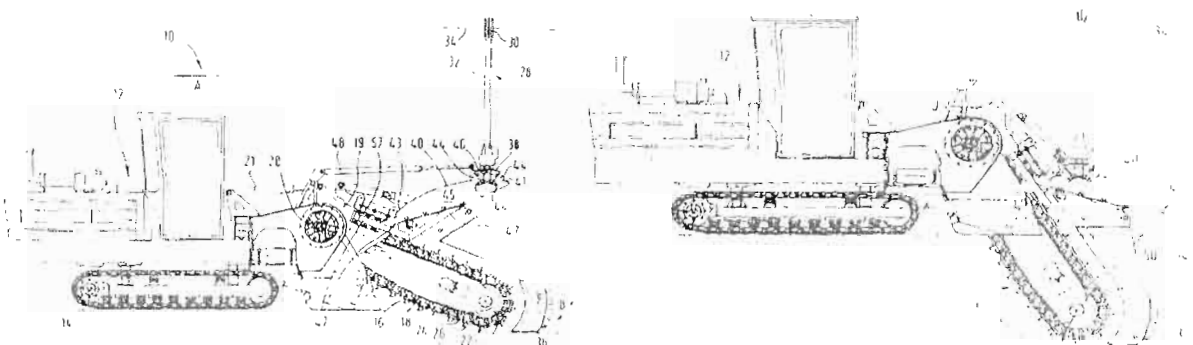


Рисунок 4 - Экскаваторное устройство для использования с тягачом

Экскаваторное устройство, содержит тягач с оборудованием для резки траншей, либо которого параллельно опорному устройству, при этом рабочее оборудование имеет множество режущих инструментов, которые в самом нижнем участке оборудования вращаются по траектории, которая проходит вокруг вращающегося элемента, расположенного в нижней части с целью разрушения грунта, причем оборудование имеет сенсорное устройство для выявления поступающих сигналов.

Рабочее оборудование, в котором средство для определения траектории движения за счет сенсорного оборудования содержит дугобразное направляющее устройство, которое имеет центр кривизны в области оси вращения режущего рабочего органа

1.3. Характеристика разрабатываемой среды

Грунтами называются горные породы, из которых состоит верхний слой земной коры. Обычно это верхний слой глубиной до 10м. Встречаются

разнообразные грунтовые условия как по гранулометрическому составу (пески, глины, супеси, так и по влажности, плотности и температуре (тальные и мерзлые)).

По происхождению состоянию и механической прочности грунты бывают: скальные, полускальные, крутообломочные, песчаные и глинистые.

Основными параметрами характеризующие состояние грунта являются его физико-механические свойства, а именно: гранулометрический состав, плотность, пористость, влажность, разрыхляемость, сжимаемость, прочность, сопротивление трению, абразивность, липкость, скорость распространения деформационных волн.

Плотность ρ (кг/м³) - отношение массы грунта к его объему

Пористость - отношение объема пор ко всему объему грунта

Влажность - отношение массы воды, заключенной в порах грунта, к массе твердых частиц грунта.

Разрыхляемость - способность грунта увеличиваться в объеме в процессе его разработки, и определяется коэффициентом

Сжимаемость - способность под воздействием внешних нагрузок изменять свое строение на более компактное. Определяется модулем деформации.

Прочность - способность сопротивляться сжатию, сдвигу и разрыву

Абразивность - свойство грунтов с частицами большей твердости изнашивать рабочие органы, элементы ходовых устройств землеройных машин

Линкость - свойство грунтов прилипать к рабочим поверхностям элементов машин, взаимодействующих с ним.

Скорость распространения деформационных волн - определяет сопротивление динамическому разрушению

Грунты разделяются на категории в зависимости от грунтоемкости разработки, т.е. плотности и наименование

Существует несколько видов классификации грунтов но наиболее распространенным является классификация предложенная СНиП 3.04.01-86, основанная на использовании плотномера ДорИИ.

Главная практическая цель изучения процесса резания грунтов - отыскать способы наименее энергоёмкого и наиболее производительного отрежания грунтов от массива

Внедряясь в грунт и двигаясь вперед, режущий клин отделяет его часть называемую стружкой оставляя после себя прорезь. В процессе резания грунтов вследствие большого разнообразия свойств и состояния грунтов и сложной природы связей между частинами стружка может быть следующих видов сливики (а), ступенчатая (б), элементная (в) и отрыва (г) (смогри рисунок 5)

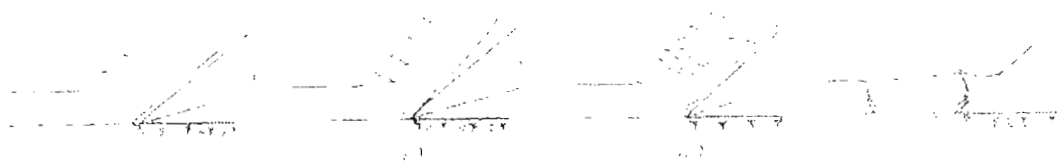


Рисунок 5 - Виды стружек при резании грунтов

а - сливики, б - ступенчатая, в - элементная, г - отрыва

На влажных пластинах с винтовых грунтах чаще всего образуются сливики стружки (в виде сплошной ленты толкой со стороны режущего инструмента почти без существенных неровностей на внешней поверхности). на сухих и глинистых грунтах нормальной влажности - ступенчатая стружка (последовательные элементы стружки после отделения от массива соединяются вновь) для глинистых сухих и прочных - элементная (состоит из отдельных кусков материала) и па-

прочих хрупких склонных к разрушению материалов – с трухлой остройца (несвежий и с мелкими кусками материала неправильной формы)

В зависимости от положения режущего инструмента в грунтовом массиве различают следующие разновидности резания: блокированное, с одной и двумя поверхностями бокового среза, полублокированное и свободное (см. рисунок 6).

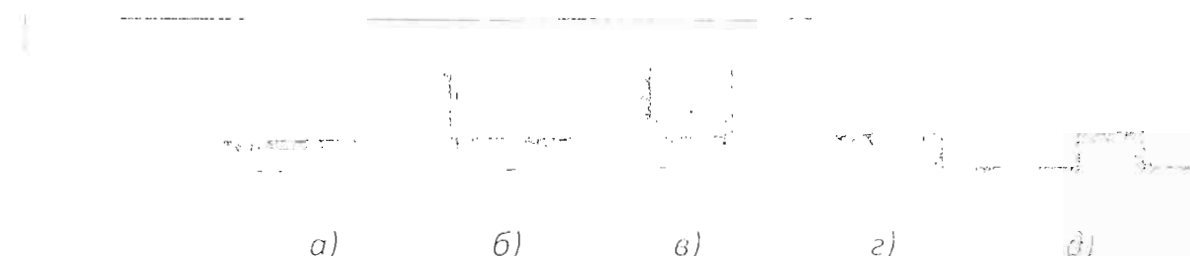


Рисунок 6 - Разновидности резания с отсечением стружки

а - блокированное резание; б - резание с одной поверхностью бокового среза; в - резание с двумя поверхностями бокового среза; г - полувсвободное резание; д - свободное резание

В процессе блокированного резания грунт разрушается в виде как прорези, ширина которой на поверхности существенно больше ширины b ножа или некоторой глубины. Прорезь расширяется и ее боковые поверхности обрастают новой поверхностью массива определенный угол φ , зависящий от вида грунта и его состояния. Расширение грунтовой прорези в ее верхней части уменьшается по мере увеличения их пластичности.

При резании грунт разрушается в результате развития в нем сложного напряженного состояния, и этот процесс передлюбовой границы ножа и по боковым расширениям прорези протекает по-разному. Сопротивление грунта разрушению в боковых расширениях прорези (здесь преобладают деформации стружки) в среднем относительное к единице площади их сечений, в 2-4 раза меньше, чем соответствующее у很长ое любовое сопротивление по ширине b ножа. Деформации стружки, сжатия и сдвиг грунта

Ю.Л. Ветровым было установлено, что при резании грунта форма поперечного реза грунта принимает трапециoidalную форму (смоги рисунок 7) после чего он предложил учитывать при определении силы резания фактор пространственности.

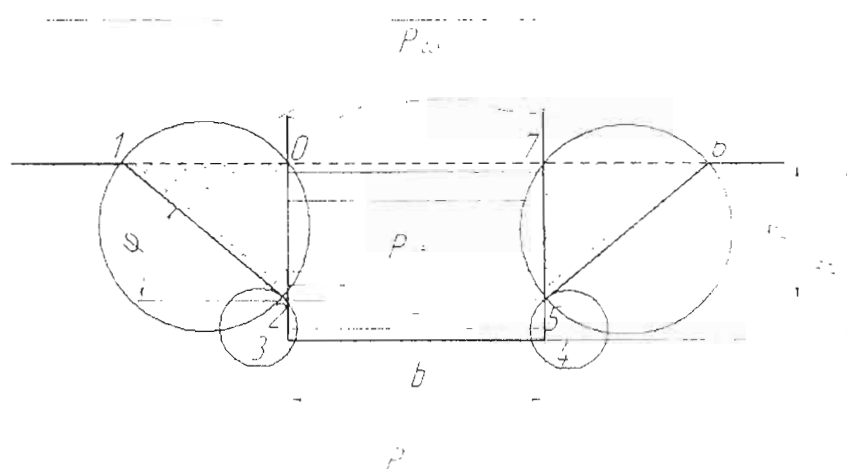


Рисунок 7 - Образование прорези, зоны действия составленных сил резания при контакте острого ножом

При резании грунт разрушается в результате развития в нем стоячего напряженного состояния, и этот процесс перед лобовой грани ножа и по боковым расширениям прорези протекает по-разному. Сопротивление грунта разрушению в боковых расширениях прорези (здесь преобладают деформации отрыва и сдвига) относительное к единице площади их сечений, в 2-4 раза меньше, чем соответствующее лобовое сопротивление по ширине b ножа. Еще глубже лежат деформации сжатия и сдвига грунта.

Такие закономерности, как показывает опыт, сохраняются лишь до определенного соотношения между шириной и толщиной среза, соответствующего критической глубине $h_{кр}$ резания. При $h > h_{кр}$ (например, форма прорези IVС-ДГ) изменяется в основном только глубина центральной части прорези, а IV и II по верхней части практически не изменяются. Критической глубине резания, как правило, соответствует наименьшая опасность резания, что должно учитываться при создании и эксплуатации

Было установлено:

- боковые расширения прорези возрастают пропорционально увеличению ширины ножа, но до определенных его размеров, и последующее увеличение не приводит к увеличению боковых расширений прорези (смоги рисунок 8 а);
- объем грунта или зона разрушения, отделяемая от массива при резании ножом, увеличивается, то определенное количество грунта и дальнейшее увеличение ножа является не целесообразным, т.к. не приводит к увеличению обрабатаемой зоны (смоги рисунок 8 б);

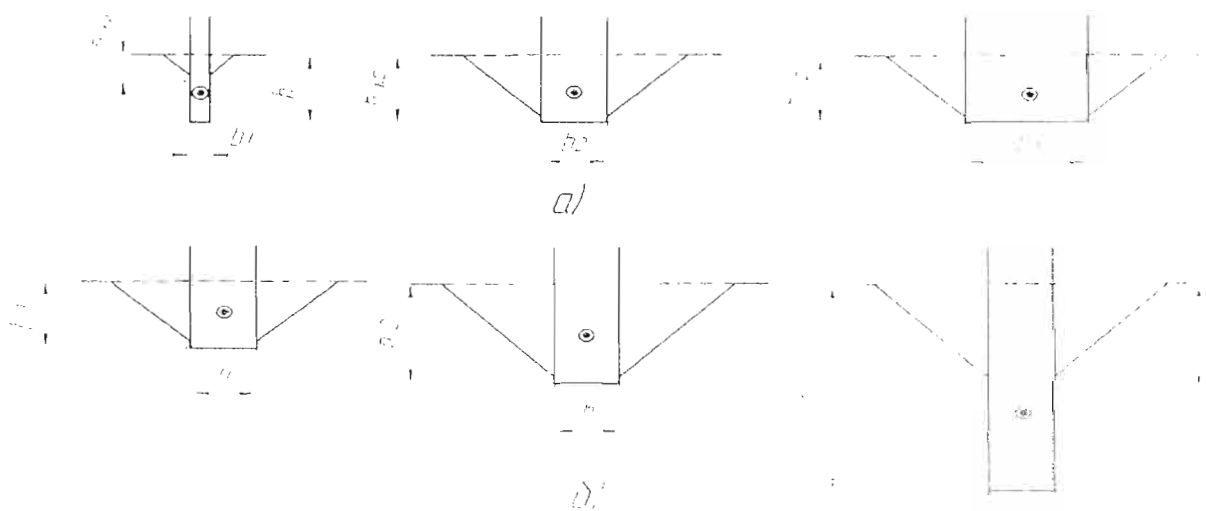


Рисунок 8 Изменения прорези и размеров боковых ее расширений

а – при увеличении ширины ножа; б – при увеличении глубины резания

Большое влияние на сопротивление грунта резанию оказывают измельчение режущего инструмента рабочих органов и затупление его. При разработке грунта износимыми рабочими органами на поверхности его скапливается, форма и размеры которой обычно характеризуются размерами z и радиусом r . Образуется ядро уплотненного грунта – ядро I. Это ядро грунта перемещается вместе с рабочим органом, увеличивая радиус затупления, смятие грунта и сопротивление движению рабочего органа. Поверхность износа по задней грани режущего кинза, характеризуемая размером z , составляет к траектории резания обычно отрицательный задний угол θ_1 , который может достигать 7-10°. Поэтому на плоскости износа задней грани при движении режущего элемента возникает

значительные дополнительные сопротивления на смятие и уплотнение грунта по следу его движения.

1.4 Предварительный анализ и характеристика модернизированного узла

Анализ патентных данных показал, что альтернативной разработкой грунта является модульная разработка. Причем используются рабочие органы разного назначения и функционального исполнения.

Очевидным есть то, что конструкция цепного траншеекопателя с двумя подвижными цепями есть наиболее целесообразной.

С этой целью мной предложена конструкция цепного рабочего органа траншеекопателя со скребковыми грунтовыносными элементами, благодаря чему в рабочем органе объединяется разрушение грунту и его вынос из забоя и подачу его на метатель.

При проектировании рабочего оборудование будем руководствуемся тем фактом, что основные узлы: ходовая часть, силовая установка, платформа, рабочий орган, элементы управления должны быть очень близкими к прототипу (смотри рисунок 9).

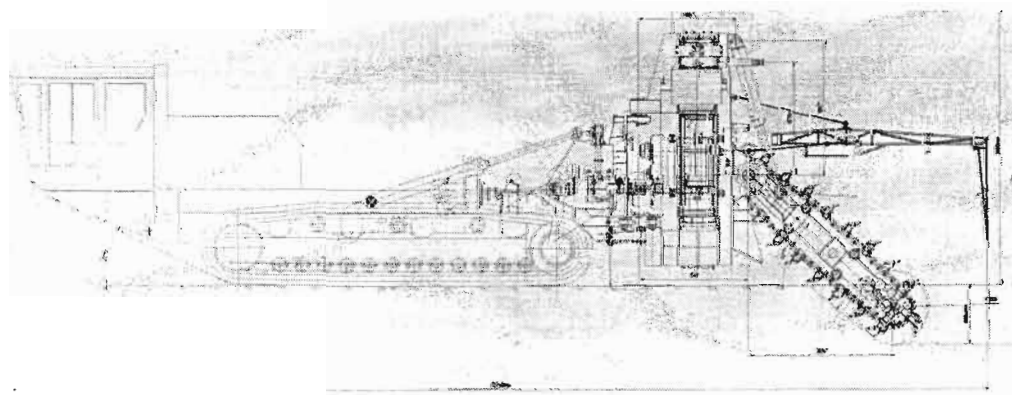


Рисунок 9 – Общий вид модернизированного экскаватора.

Таблица 1 ТЕХНИЧЕСКАЯ ХАРАКТЕРИСТИКА

Базовый трактор:	
Мощность, кВт	250
Управление	гидравлическое
Масса, кг	25000
Рабочее оборудование:	
Количество рабочих органов, шт.	2
Максимальное усилие на рабочем органе кН, не более	2175
Тип привода	гидравлический
Масса пневмого оборудования, кг	11730

2 ОБЩИЙ РАСЧЕТ ЭКСКАВАТОРА-ГРЯЗЕЛКОПАЛЬЯ

2.1 Общий кинематический расчет динамической землеройной машины

2.1.1 Определение центра масс машины

При определении центра масс машины начиная систеы координат x, y, z принимаем в точке сечения проекции оси ведущих колес на опорную поверхность с вертикальной продольной плоскостью симметрии машины.

Ось машины x лежит на опорной поверхности и направлена в сторону кормы, ось y направлена вертикально вверх. Ось z направлена к правому борту машины (смотри рисунок 10).

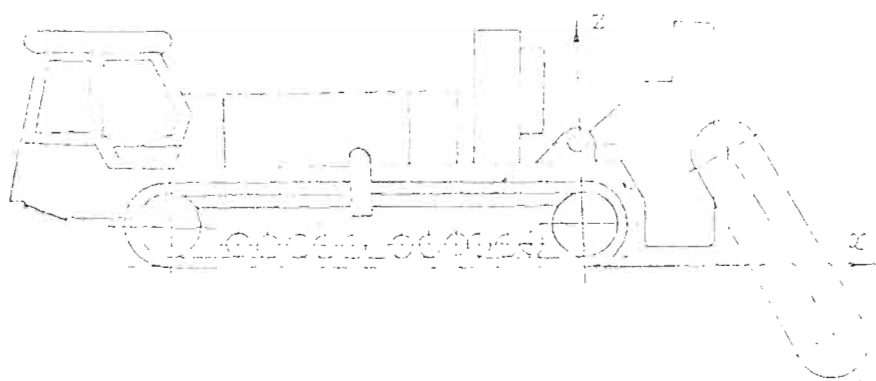


Рисунок 10 - Определение центра массы машины

В таблице 2 определено положение центра масс машины в рабочем положении при рытье котлована глубиной 0,8 м.

Таблица 2 – Центр масс машины в рабочем положении

Название элементов	$m, \text{ кг}$	$x, \text{ м}$	$z, \text{ м}$
1	2	3	4
Базовый тягач	25000	-3,200	0,816
Экипаж 1 чел	80	-0,685	2,2
Базовый тягач с экипажем	25080	-3,211	0,82
Рама РО	830	3,67	0,59
Цепь	1700	3,67	0,59
Натяжной вал	370	4,691	-0,32

Продолжение таблицы 2

	1	2	3	4
Приводные валы		820	2,66	1,51
Фрезы 4 шт.		160	4,691	-0,32
Ферма		100	5,941	1,9
Рабочий орган с фрезами	4080	3,655	0,689	
Корпус метателя	3800	2,2	1,85	
Разгрузочная коробка	1085	1,4	1,7	
Разгрузочный редуктор	355	2,32	1,5	
Гидроцилиндры рабочего органа	300	2,8	2,98	
Корпус метателя с узлами	5540	2,094	1,828	
Рама промежуточная	670	0,63	1,3	
Гидроцилиндры	80	1,05	0,88	
Шланг с гранемиссией	100	0,5	1,3	
Рама промежуточная с узлами	850	0,654	1,26	
Рама подъема	820	0,35	1,18	
Гидроцилиндры перекоса	40	0,6	0,85	
Рама подъема с узлами	860	0,362	1,126	
Гидроцилиндры рабочего органа	400	-1,1	1,3	
Рама подъема с узлами и гидроцилиндрами	1260	-0,102	1,181	
Рабочее оборудование	13730	2,297	1,315	
Машинна без экипажа в рабочем положении	36730	-1,445	0,982	
Машинна с экипажем в рабочем положении	36810	-1,445	0,985	

В таблице 3 определено положения центра масс машины при транспортировке в положении рабочего оборудования.

Таблица 3 - Центра масс машины в транспортном положении

Название элементов	1	m, кг	x, м	y, м
		2	3	4
Базовый тягач		25080	-3,211	0,82
Рабочий орган с фрезами		4080	-2,23	3,96
Корпус метателя		5540	0,8	1,38
Рама промежуточная		850	-0,02	1,99
Рама подъемная		1260	0,15	1,73
Машинна с экипажем в транспортном положении	36810	-2,554	1,611	

Перевод рабочего оборудования в транспортное положение

Рассмотрим (смоги таблицу 4) полуутранспортное положение, которое отвечает началу перевода рабочего оборудования в транспортное положение гидроцилиндрами управления.

Таблица 4 – Центра масс машины в полуутранспортном положении

Название элементов	m, кг	X, м		Z, м
		1	2	
Базовый тягач	25080	-3,211	0,82	
Рабочий орган с фрезами	4080	2,83	2,86	
Корпус молотеля	5540	2,16	1,813	
Рама промежуточная	850	0,65	1,260	
Рама подъемная	1260	-0,102	1,181	
Машина с окапиваем в транспортном положении	36810	-1,536	1,248	

Устойчивость машины

Транспортное положение:

Определим предельный статический угол спуска из условия продольной устойчивости машины, определим по формуле 1

$$\alpha_{\text{про}} = \arctg \frac{L + x}{z} + \arctg \frac{3,91 - 2,554}{1,611} = 40^{\circ} 05' \quad (1)$$

где L = 3,91 м - расстояние от ведущей звездочки к первому звеному колесу

$$x = -2,554 \text{ м.}$$

z = 1,611 м - координаты центра массы машины в транспортном положении.

Определим предельный статический угол косогора из условия поперечной устойчивости машины рассчитаем по формуле 2:

$$\alpha_{\text{tp}} = \arctg \frac{0,5B}{z} = \arctg \frac{0,5 \cdot 2,65}{1,611} = 39^{\circ} 26' \quad (2)$$

где B = 2,65 м - колея базового тягача по серединам гусениц

Полутранспортное положение

Проверяем устойчивость машины в начале перевода рабочего оборудования в транспортное положение гидроцилиндрами складки. Для этого определим предельный статический угол подъема из условия продольной устойчивости машины рассчитаем по формуле 3.

$$\alpha_{\text{пр}} = \arctg \frac{L_2 - \lambda}{z} = 41^{\circ}51' \quad (3)$$

где $L_2 = 0,445\text{м}$ - расстояние от ведущей звездочки до 12-го опорного катка

$$x = -1,536\text{м},$$

$z = 1,218\text{м}$ - координаты центра массы машины в полу-транспортном положении.

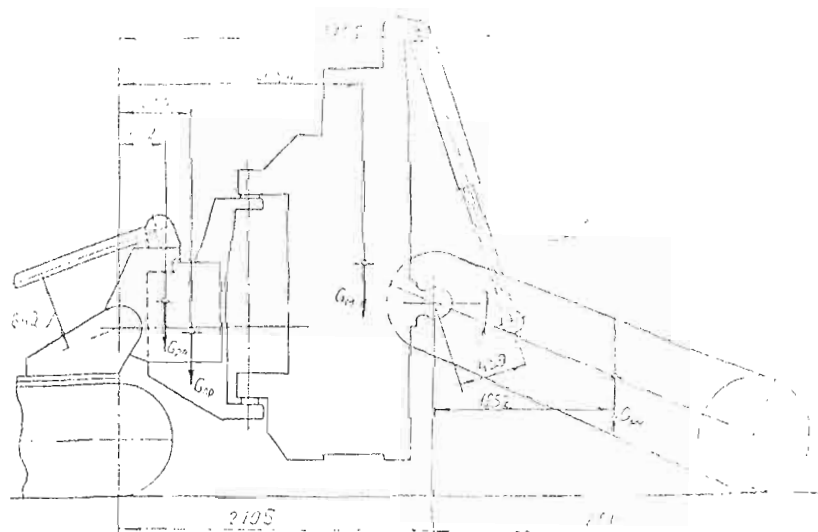


Рисунок 10 - Схема действия сил тяжести от рабочего органа

Нагрузка на опорные катки

Транспортное положение.

Подвеска всех опорных катков жесткая.

Определяем центр жесткости катков (расстояние 12-го катка) по формуле 4

$$l_u = \frac{l_1}{n_k} \quad (4)$$

где l_1 - расстояние от 1-го катка до 12-го,

$n_k = 12$ - количество катков

$$l_1 = \frac{l}{n_k} = \frac{3465 + 3150 + 2935 + 2520 + 2205 + 1890 + 1575 + 1260 + 945 + 630 + 315}{12} = 1732,5$$

Расстояние от ведущей звездочки к центру жесткости катков равно

$$l_n = l + 445 = 1732,5 + 445 = 2177,5 \text{ мм},$$

где 445 мм - расстояние от ведущей звездочки до 12-го катка.

Вес машины с окапажем в транспортном положении определяется по формуле 5:

$$G = 36110 \text{ Н} \quad (5)$$

Координата центра веса машины в транспортном положении

$$x = -2,554 \text{ м.}$$

Так как центр масс машины смешен относительно центра жесткости, то на опорные катки действует момент равный:

$$M = GM(10-x) = 36110(-2,1775+2,554) = 135960 \text{ Нм}$$

Поскольку центр масс машины в транспортном положении смешен к передней части машины, то при жесткой подвеске перебрасывание осуществляется относительно первого катка, а нагрузка на катки 1-12 подсчитывается по формуле 6:

$$R_1 = \frac{G}{2n_k} + \frac{M}{4\sum l_i} \quad (6)$$

где $n_k = 12$ - количество опорных катков. l_1 - расстояние 1-го катка до центра жесткости базовой машины

$$R_1 = \frac{G}{2n_k} + \frac{M}{4\sum l_i} = \frac{36110}{2 \cdot 12} + \frac{135960}{4(1732,5 + 14175 + 11025 + 7875 + 4725 + 1575)} = \\ = \frac{15040}{24} + \frac{135960}{28378} = 15040 + 4791 =$$

Нагрузка на первый каток будет равна:

$$R_1 = 15040 + 4791 = 19831 \text{ Н.}$$

Таблица 5 – Результаты расчета

Номер катка	$L_i, м$	$R_i, Н$
1	2	3
1	1,7325	23350
2	1,4175	21840
3	1,1025	20330
4	0,7875	18820
5	0,4725	17340
6	0,1575	15800
7	0,1575	14290
8	0,4725	12780
9	0,7875	1170
10	1,1025	9760
11	1,4175	8250
12	1,7325	6750

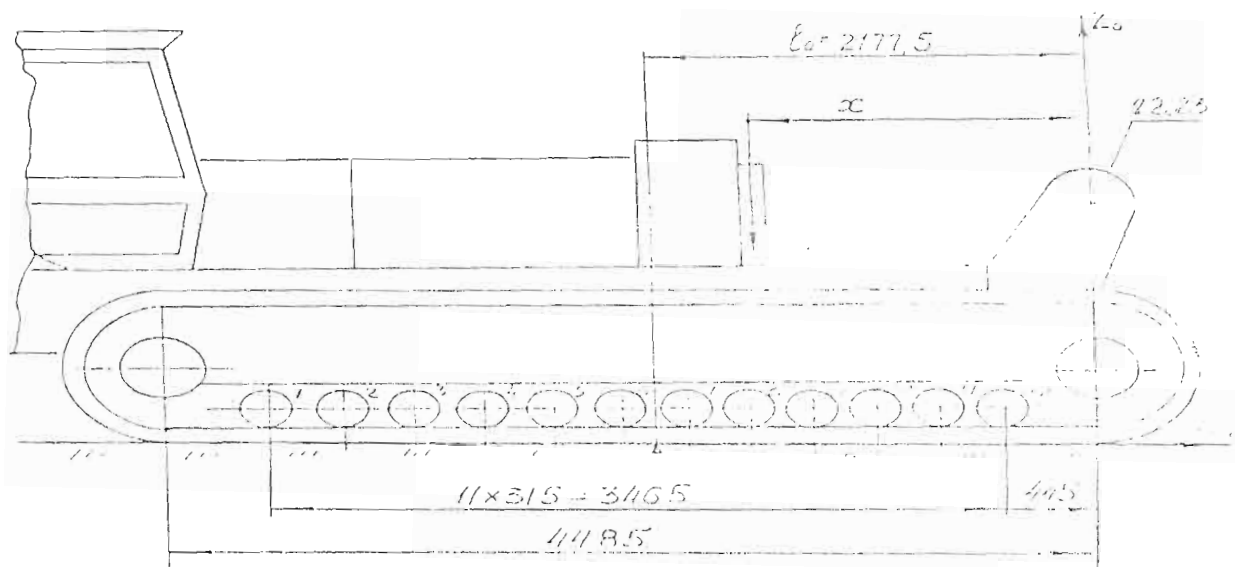


Рисунок 11 – Определение нагрузок на опорные катки

Полутранспортное положение.

Определяем нагрузку на опорные катки в начальном переводе рабочего оборудования в транспортное положение (противоположное листу)

Координата центра масс машин в полутранспортном положении

$x_c = 1,536\text{м}$

Перебрасывание возникает относительно 12-го катка

Момент, действующий на опорные катки

$$M = GM(10-x) = 361110(-2,1775+1,536) = -231652 \text{ Нм}$$

Нагрузка на катки 1-12 рассчитывается по формуле ⁷

$$R^{1-2} = \frac{G_M}{2nk} + \frac{Ml_1}{4\sum l_i} \quad (7)$$

где $nk = 12$ - количество опорных катков,

l_1 - расстояние 1-го катка до центра жесткости базовой линии

$$R^{1-2} = \frac{G_M}{2nk} + \frac{Ml_1}{4\sum l_i} = \frac{361110}{2 \cdot 12} + \frac{231652 \cdot l_1}{28,378} = 15046 + 8163l_1$$

Номинальный режим работы при работе котлованов в не мерзлых грунтах

В номинальном режиме работы в точках 22 и 23 на базовой линии действуют усилия:

$$X_{22} = -259934 \text{ Н}, X_{23} = -79016 \text{ Н},$$

$$Z_{22} = 95092 \text{ Н}, Z_{23} = 177843 \text{ Н}$$

Вес тягача без рабочего оборудования:

$$Gt = -246030 \text{ Н.}$$

Таблица 6 - Результаты расчета

Номер катка	$l_i, \text{м}$	$R_i, \text{Н}$	
		1	2
1	1,7325		900
2	1,4175		3470
3	1,1025		8020
4	0,7875		8620
5	0,4725		11190
6	0,1575		13760
7	0,1575		16330
8	0,4725		18910
9	0,7875		21470
10	1,1025		24040
11	1,4175		26620
12	1,7325		29190

Координата центра масс базового тягача

$$x = 3,211 \text{ м}$$

Момент от внешних сил относительно жесткости катков:

$$M = G_M l_{0-X} = (Z22 + Z23) l_0 / (X22 + X23) \cdot 1,33 = 246030(3,211-2,1775) \\ = (95092 + 177843) 2,1775 = 110760 \text{ Нм}$$

Перебрасывание возникает относительно 1-го катка.

Нагрузка на катки 1-12 рассчитывается по формуле 8

$$R1 = -\frac{G_1 + Z22 + Z23}{2nk} + \frac{Ml}{4\sum l_i} \quad (8)$$

$$R1 = \frac{G_1 + Z22 + Z23}{2nk} + \frac{Ml_1}{4\sum l_i} = \frac{361110 + (95092 + 177843)}{2 \cdot 12} + \frac{110760}{28,378} \\ = 21624 + 3903l_1.$$

Результаты вычислений нагрузок на катки в нормальном режиме работы приведены в таблице 7:

Среднее удельное давление на грунт под гусеничными машинами в транспортном положении определяем по формуле 9:

$$q = \frac{G_M}{2b} \text{ Н/м}, \quad (9)$$

где $l = 4485$ мм - длина опорной поверхности гусеницы.

$b = 700$ мм - ширина гусеницы

$$q = \frac{G_M}{2b} = \frac{361110}{2 \cdot 700 \cdot 4485} = 0,058$$

Таблица 7 Результаты расчета

Номер катка	L_{1i} , м	R_{1i} , Н
1	2	3
1	1,7325	900
2	1,4175	3470
3	1,1025	8050
4	0,7875	8620
5	0,4725	11190
6	0,1575	13760

Продолжение таблицы 7

7	0,1575	16330
8	0,4725	18910
9	0,7875	21470
10	1,1025	24040
11	1,4175	26620
12	1,7325	29190

2.1.2 Кинематический расчет привода пневмического рабочего органа

Привод рабочего органа и магнита.

Кинематическая схема привода рабочего оборудования изображена на рисунке 12

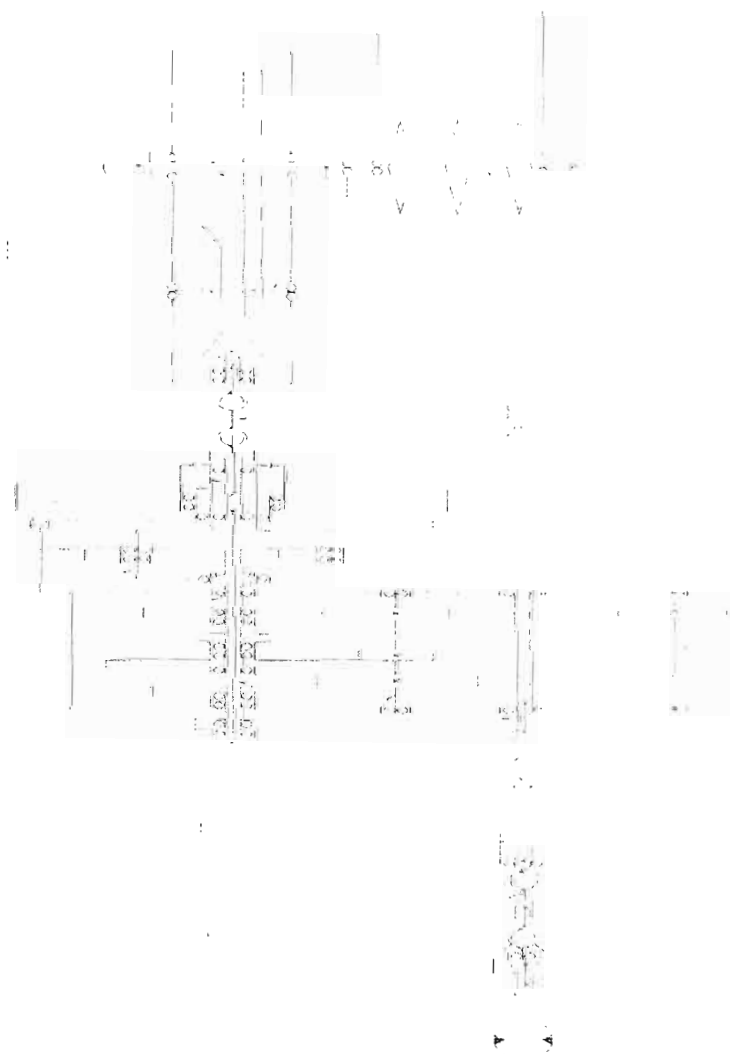


Рисунок 12 – Кинематическая схема привода пневмического рабочего органа

Частота вращения исподнего вала двигателя АОАМ500 в редукторах привода равной:

$$n_c = 1800 \text{ об / мин.}$$

Общее передаточное отношение привода цепного рабочего органа равно

$$u_{p.c} = u_{k.p.} u_{p.p.} = 2,333 \cdot 8,538 = 19,92,$$

где – передаточное отношение раздаточной коробки – и раздаточного редуктора.

Частота вращения ведущих звездочек рабочего органа равна

$$n_r = \frac{n_c}{u_{p.c}} = \frac{1800}{19,92} = 90,36 \text{ об / мин}$$

Круговая скорость звездочек определяем по формуле 10

$$V = \frac{\pi D n}{60} \text{ м / с.} \quad (10)$$

где D – диаметр звездочки.

$$V = \frac{\pi D n}{60} = \frac{3,14 \cdot 0,3655 \cdot 90,36}{60} = 1728 \text{ м / с.}$$

Частота вращения метателья равна

при прямом вращении:

$$n_m = \frac{n_r}{u_{m.p.}} = \frac{1800}{23,06} = 78,06 \text{ об / мин.}$$

при обратном обращении

$$n_m = \frac{n_r}{u_{m.p.}} = \frac{1800}{23,10} = 77,92 \text{ об / мин}$$

где $u_{m.p.} = 23,06$, $u_{m.p.} = 23,1$ – передаточные числа раздаточных коробок

Круговая скорость метателья

при прямом вращении

$$V = \frac{\pi D n_m}{60} = \frac{3,14 \cdot 3 \cdot 78,06}{60} = 12,2 \text{ м / с при обратном вращении}$$

где m - диаметр метателя.

при обратном вращении:

$$F_v = \frac{\pi D m}{60} n_m = \frac{3.14 \cdot 3 \cdot 77.92}{60} = 12.2 \text{ Н·с}$$

где $D = 3.0$ м - диаметр метателя.

2.2 Производительность машины с выносящей способностью - пневмического рабочего органа и метателя

Плюшь балки, по которой перемещается грунт, из которых рабочих органов разной

$$F = 2 \cdot 0.555 \cdot 0.18 = 0.1998 \text{ Н},$$

где 0,555 м - длина балки, 0,18 м - ширина балки.

Скорость цепи при $n_c = 1800$ мин⁻¹ равная $\ell = 1.728 \text{ м/с}$

Производительность рабочего органа с выносящей способностью при коэффициенте разрыхления $K_p = 1,25$

$$H_s = \frac{3600 \ell F K_p}{K_r} = \frac{3600 \cdot 1.728 \cdot 0.1998 \cdot 0.6}{1.25} = 596 \text{ м}^3/\text{ч}$$

Определим выносную способность метача

Частота обращения ротора метача $n = 77.92$ мин⁻¹

Объем грунта, что транспортируется одной лопatkой

$$g = 0.0174 \text{ м}^3,$$

Производительность метателя с выносящей способностью:

$$H_i = \frac{60 g \pi m k_{\eta}}{K_r} = \frac{60 \cdot 0.0174 \cdot 18 \cdot 77.92 \cdot 0.6}{1.25} = 700 \text{ м}^3/\text{ч},$$

где $g = 18$ - количество лопаток, $K_{\eta} = 0.6$ - коэффициент заполнения лопаток метателя, $K_r = 1,25$ - коэффициент разрыхления грунта

Таким образом, выносящая способность метателя осуществляется гранспортирование грунта из забоя

3 РАЗРАБОТКА РАБОЧЕГО ОБОРУДОВАНИЯ С ТРАПЕЦИЕВИДНЫМ СКРЕБКОВЫМ ЭЛЕМЕНТОМ

Модернизированный рабочий орган, оснащенный скребковыми грунтовыми элементами, называется на базовую машину, как комплекс спаренного оборудования, в состав которого входит механизм управления приводом рабочего оборудования (смотри рисунок 12).

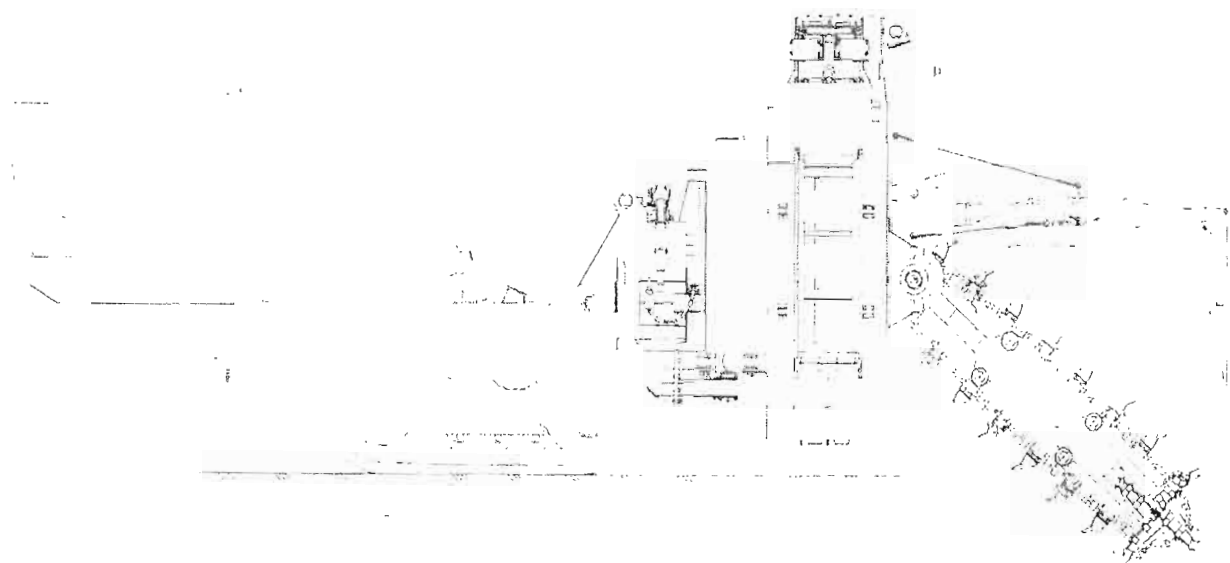


Рисунок 12 – Цепной трапециекопатель с трапециевидным скребковым элементом

Для утверждения верного пути модернизации производим расчет основных параметров РО и проектируем его, а также механизм его управления.

3.1 Силовой расчет цепного рабочего органа

Характеристики грунта:

граница прочности при динамической нагрузке $\sigma_d = 0,43 \text{ МПа}$,

динамический модуль деформации $E_d = 4,3 \text{ МПа}$,

плотность $\rho = 1860 \text{ кг/м}^3$.

коэффициент Ньютона $\mu = 0,25$.

Угол внутреннего трения, внешнего трения и приработного откоса принимаются равными между собой и равняют 32° .

Скорость движения базовой машины

$$V_H = 0,83 \text{ м/с.}$$

$$\text{Глубина резания } h = 0,8 \text{ м.}$$

3.1.1 Расчет пемного рабочего органа

Суммарная скорость: $V = 2,83 \text{ м/с}$

Скорость распространения в грунте волн деформаций определяется по формуле 11:

$$U = \sqrt{\frac{E_d(1-\mu)}{\rho(1-\mu+2\mu^*)}} \text{ м/с} \quad (11)$$

$$U = \sqrt{\frac{E_d(1-\mu)}{\rho(1-\mu+2\mu^*)}} = \sqrt{\frac{43 \cdot 10 \cdot (1-0,25)}{1860 \cdot (1-0,25+2 \cdot 0,25)}} = 2,83 \text{ м/с}$$

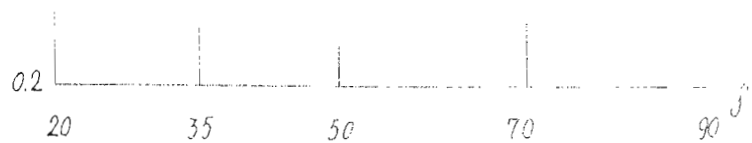
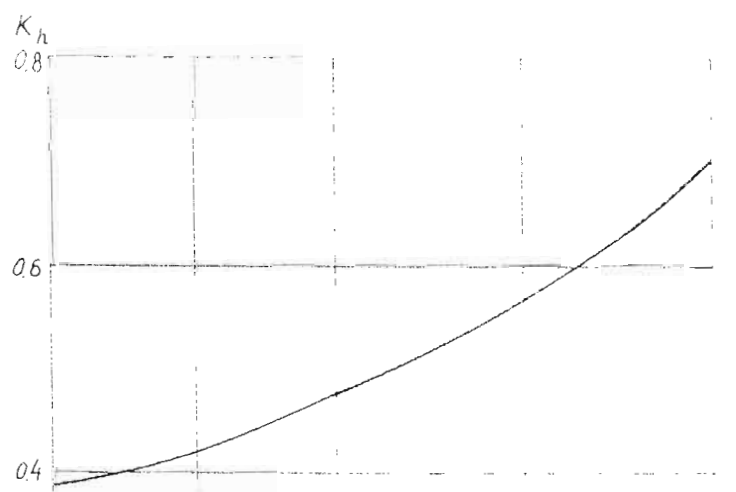


Рисунок 13 – Зависимость коэффициента от угла резания.

Относительная динамическая деформация грунта определяется по формуле 12:

$$\varepsilon_r = \frac{\sigma_r}{E_r} \quad (12)$$

$$\varepsilon_r = \frac{\sigma_r}{E_r} = \frac{0,43}{4,3} = 0,1$$

Удельное динамическое сопротивление грунту разрушению по формуле 13

$$K_d = \rho V + \varepsilon_r \sigma_r = Ha \quad (13)$$

$$K_d = \rho V^2 + \varepsilon_r \sigma_r = 1860 \cdot 2,83^2 + 0,1 \cdot 0,43 \cdot 40 = 85773,4 \text{ Ha}$$

Нападь контакта ножа цепи с грунтом определяется по формуле 14

$$S = K_d B h \text{ - м}^2, \quad (14)$$

где: $K_h=0,65$ - коэффициент, учитывающий высоту контакта поверхности отвала, при угле резания 90° .

$$S = K_d B h = 0,65 \cdot 0,15 \cdot 0,06 = 0,00585 \text{ м}^2$$

При одновременном контакте зубьев цепи с грунтом получаем

$$S = 0,2925 \text{ м}$$

Сила сопротивления грунту разрушению по формуле 15

$$P = \frac{U K_d S}{21 K_a} \text{ - Н} \quad (15)$$

где: $K_a = 1$ - коэффициент, который учитывает угол заострения рабочего органа

$$P = \frac{U K_d S}{21 K_a} = \frac{52,7 \cdot 85773,4 \cdot 0,2925}{2 \cdot 2,81} = 236102,77 \text{ Н}$$

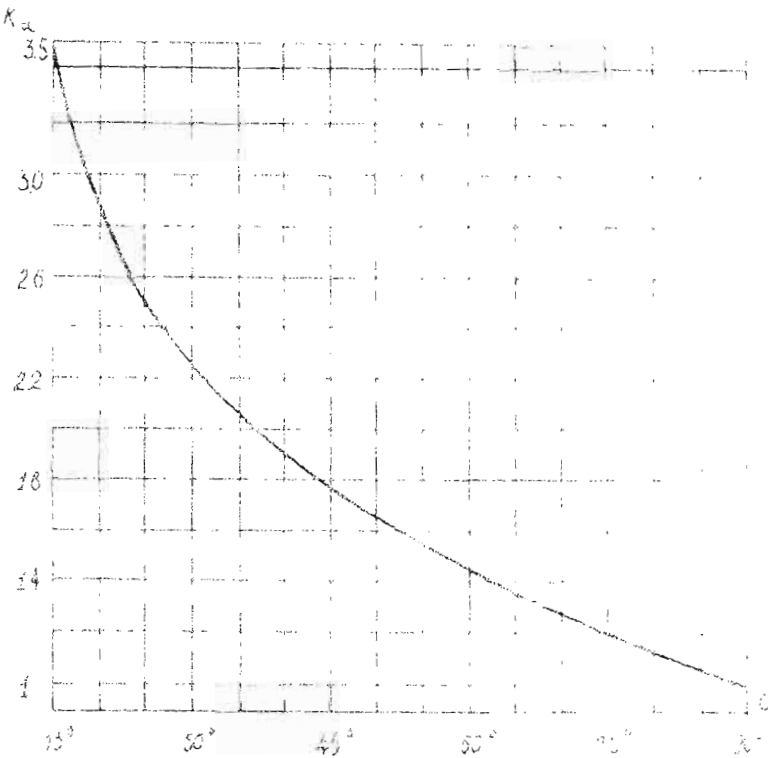


Рисунок 14 – Зависимость коэффициента K_x от числа рабочих дней

Энергоемкость разработки грунта определяется по формуле 16

$$e = \frac{P}{F} \cdot \frac{\kappa B m \cdot \chi}{M^3}, \quad (16)$$

где: $F = \frac{0,5BHl}{2} = \frac{0,5 \cdot 1,2 \cdot 0,8}{2} = 0,24$ – m – площадь разработки грунта в квадратных метрах;

$$e = \frac{P}{F} = \frac{23610277}{0,24} = 983761,54 \frac{kNm}{M^3} = 0,136619 \frac{kNm \cdot \chi}{M^3}$$

Удельная производительность разработки грунта цепным рабочим органом рассчитывается по формуле 17:

$$H = \frac{1}{e} \cdot \frac{M^3}{\kappa B m \cdot \chi} \quad (17)$$

$$H = \frac{1}{e} = \frac{1}{0,136619} = 73196 \frac{M^3}{kNm \cdot \chi}$$

Определяем удельное сопротивление грунта динамическому разрушению. Конструктивно принимаем, что наибольший круг резания (рис. 3.4) расположжен таким образом, что его зубья работают только на отбрасывание разработанного грунта за границы трапециевидной формулы 20:

$$K_d = \rho V_{\text{окр}}^2 + \sigma \varepsilon \quad (20)$$

где $V_{\text{окр}}$ - линейная скорость обратного рабочего органа, $V_{\text{окр}} = 17 \text{ м/с}$

σ - граница прочности при динамической нагрузке - 0,14 МПа

ε - относительная динамическая деформация - 0,01;

$$K_{d1} = \rho V_{\text{окр},1}^2 + \sigma \varepsilon = 1590 \cdot 22,6^2 + 0,14 \cdot 10^{-6} \cdot 0,01 = 813508,4 [\text{Н/м}] ;$$

$$K_{d2} = \rho V_{\text{окр},2}^2 + \sigma \varepsilon = 1590 \cdot 18,2^2 + 0,14 \cdot 10^{-6} \cdot 0,01 = 528071,6 [\text{Н/м}] ;$$

$$K_{d3} = \rho V_{\text{окр},3}^2 + \sigma \varepsilon = 1590 \cdot 15,1^2 + 0,14 \cdot 10^{-6} \cdot 0,01 = 363936 [\text{Н/м}] ;$$

$$K_{d4} = \rho V_{\text{окр},4}^2 + \sigma \varepsilon = 1590 \cdot 12,56^2 + 0,14 \cdot 10^{-6} \cdot 0,01 = 252228 [\text{Н/м}]$$

3.1.3 Рассчитываем приведенную глубину резания

Для расчета приведенной глубины резания используем упрощенную методику расчета. В проектируемом рабочем органе благодаря высокой скорости вращения, скорости перемещения, в расчетах можно пренебречь, что значительно упростит расчет.

Процесс разрушения плотной среды характеризуется геометрическими и кинематическими параметрами резания, а также физико-механическими свойствами среды. Максимальная глубина резания также определяется геометрическими и кинематическими параметрами процесса.

Вследствие того, что между силой резания R и площадью контакта S существует линейная зависимость (а также учитывая, что $V_{\text{окр}} = R/S$), приведенную глубину резания на соответствующем круге резания, при конкретных соединениях всех параметров процесса определим из условия формулы 21

$$h_{HF} = \frac{\int_0^l h(l)dl}{l_p}, \quad (24)$$

где l_p - длина дуги резания.

l - текущее значение длины дуги резания.

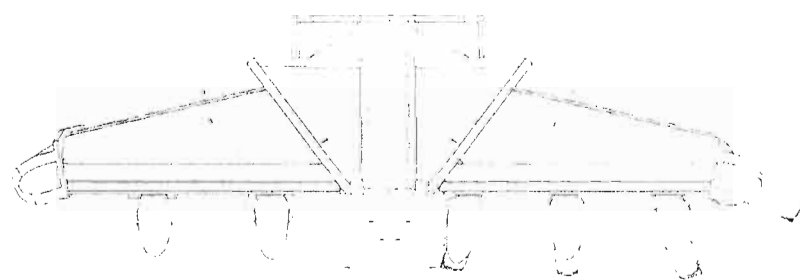
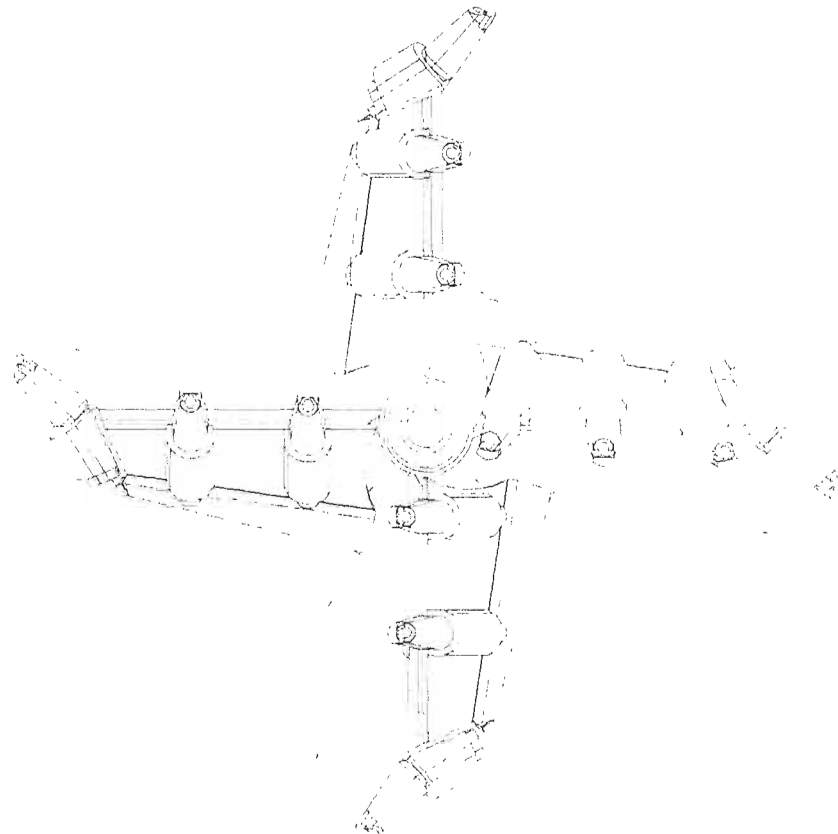


Рисунок 15 - боковая фреза

Учитывая то, что $\dot{\varphi}_p = \omega R$, где R - соответствующий радиус рабочего органа и $V_H < \omega R$ можно записать формулой 22:

$$h_{\text{раб}} = \frac{V_H}{\omega \cdot \varphi_p R} \int_0^R l \sin \frac{l}{R} \frac{l}{\dot{\varphi}_p \omega R} dl. \quad (22)$$

где φ - текущее значение угла дуги резания;

φ_p - угол дуги резания;

l - текущее значение глубины на круге резания;

ω - угловая скорость рабочего органа;

V_H - скорость подачи;

Или формулой 23:

$$h_{\text{раб}} = \frac{V_H}{\omega \cdot \varphi_p R} \int_0^R l \sin \frac{l}{R} \frac{l}{\dot{\varphi}_p \omega R} dl. \quad (23)$$

Интегрируя, получим формулу 24:

$$h_{\text{раб}} = \frac{1}{\omega \varphi_p} \left(\sin \varphi_p - \varphi_p \cos \varphi_p \right). \quad (24)$$

Учитывая, что угол $\varphi_p = 180^\circ$ и $\sin \varphi_p = 0$ а $\cos \varphi_p = -1$, а также учитывая равные значения угловых скоростей на разных кругах резания, получим формулу 25 (смотри формулу 25)

$$h_{\text{раб}} = \frac{V_H}{\omega \varphi_p} (0 - \varphi_p (-1)) = \frac{V_H}{\omega \varphi_p} \varphi_p = \frac{V_H}{\omega}, \quad (25)$$

где V_H - скорость подачи (перемещение базового трапеция) приведено из технической характеристики $V_H = 0,7 \text{ м/с}$.

Получим:

$$h_{\text{раб}} = \frac{V_H}{\omega} = \frac{0,7}{62,8} = 0,055 \text{ м/с}$$

Определяем расчетную глубину резания по формуле 26

$$h_{pr} = k_{op} \cdot h_{pp} \cdot \sin \xi \quad (26)$$

где k_{op} – коэффициент зависимости глубины резания от угла резания

φ_p (а также угла ξ) = 1,14 k_{op} 1,16;

принимаем $k_{op} = 1,15$;

ξ – угол поворота резальных элементов в зоне, отсчитывая от начальной точки,

принимаем конструктивно

Получим:

$$h_{p1} = 1,15 \cdot 0,01115 \cdot \sin 65^\circ = 0,0416[\mu] ;$$

$$h_{p2} = 1,15 \cdot 0,01115 \cdot \sin 70^\circ = 0,042[\mu] .$$

$$h_{p3} = 1,15 \cdot 0,01115 \cdot \sin 75^\circ = 0,0424[\mu]$$

$$h_{p4} = 1,15 \cdot 0,01115 \cdot \sin 78^\circ = 0,0425[\mu]$$

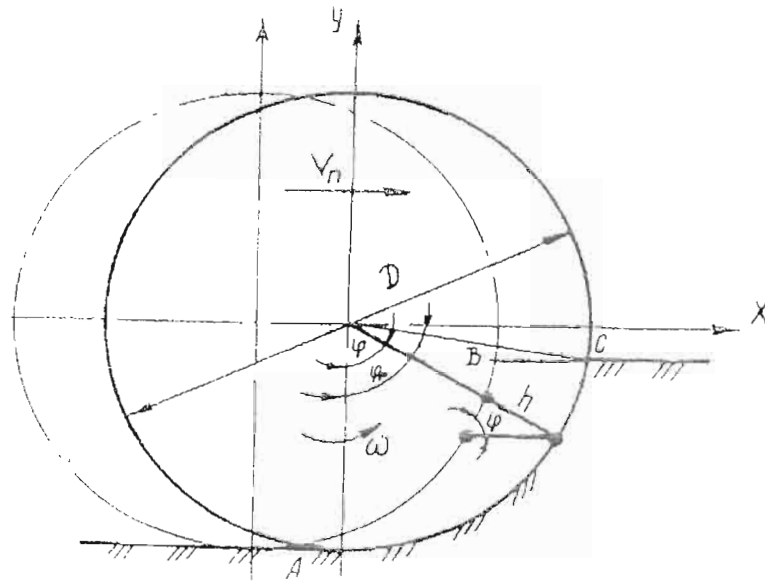


Рисунок 16 – Схема для определения приведенной глубины резания

Определяем среднюю площадь контакта одного режущего элемента с группой по формуле 27:

$$S = k_h \cdot h_r \cdot b, \quad (27)$$

где k_h - коэффициент глубины резания (отношение высоты контакта режущего элемента с грунтом к глубине резания)

$$k_h = 0,38 \dots 0,69;$$

$$\text{принимаем } k_h = 0,47;$$

b - ширина резальных элементов;

$$\text{принимаем } b = 80 \text{ мм} = 0,08 \text{ м}$$

Подставив, получим:

$$S_1 = k_h \cdot h_{r1} \cdot b = 0,47 \cdot 0,0416 \cdot 0,08 = 15,64 \cdot 10^{-3} [\text{м}],$$

$$S_2 = k_h \cdot h_{r2} \cdot b = 0,47 \cdot 0,042 \cdot 0,08 = 15,79 \cdot 10^{-3} [\text{м}],$$

$$S_3 = k_h \cdot h_{r3} \cdot b = 0,47 \cdot 0,0424 \cdot 0,08 = 15,94 \cdot 10^{-3} [\text{м}];$$

$$S_4 = k_h \cdot h_{r4} \cdot b = 0,47 \cdot 0,0425 \cdot 0,08 = 15,98 \cdot 10^{-3} [\text{м}]$$

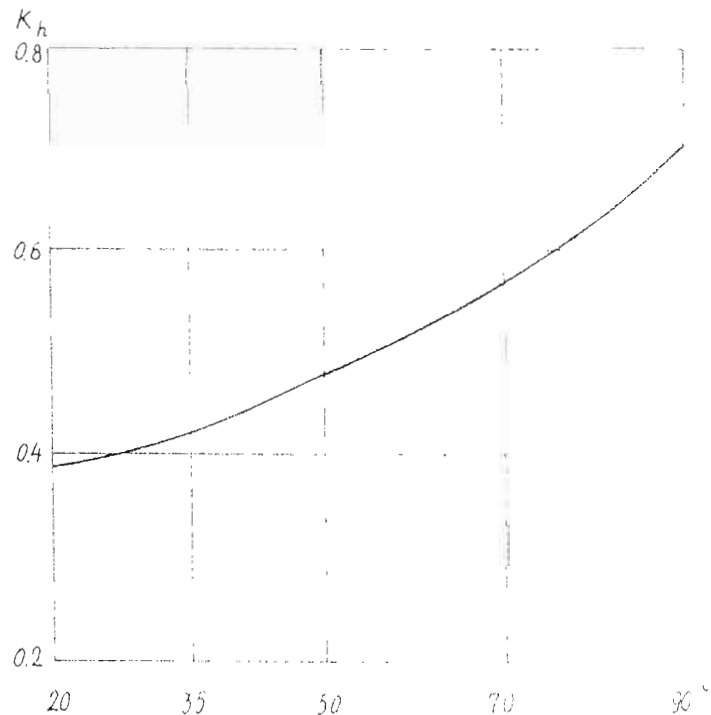


Рисунок 17 – Зависимость коэффициента k_h от углубления X

Определяем максимальную касательную силу резания, которая действует на один режущий элемент, по формуле 28

$$P = \frac{U K_d S}{2 V_{opt} K_o}, \quad (28)$$

где K_o - коэффициент обострения резального элемента.

принимаем $K_o = 1,76$.

Получаем:

$$P_1 = \frac{U K_d S_1}{2 V_{opt} K_o} = \frac{108 \cdot 813508,4 \cdot 15,64 \cdot 10^{-3}}{2 \cdot 22,6 \cdot 1,76} = 481,53[H];$$

$$P_2 = \frac{U K_d S_2}{2 V_{opt} K_o} = \frac{108 \cdot 528071,6 \cdot 15,79 \cdot 10^{-3}}{2 \cdot 18,2 \cdot 1,76} = 401,5[H]$$

$$P_3 = \frac{U K_d S_3}{2 V_{opt} K_o} = \frac{108 \cdot 363936 \cdot 15,94 \cdot 10^{-3}}{2 \cdot 15,1 \cdot 1,76} = 345[H];$$

$$P_4 = \frac{U K_d S_4}{2 V_{opt} K_o} = \frac{108 \cdot 252228 \cdot 15,98 \cdot 10^{-3}}{2 \cdot 12,56 \cdot 1,76} = 289,2[H]$$

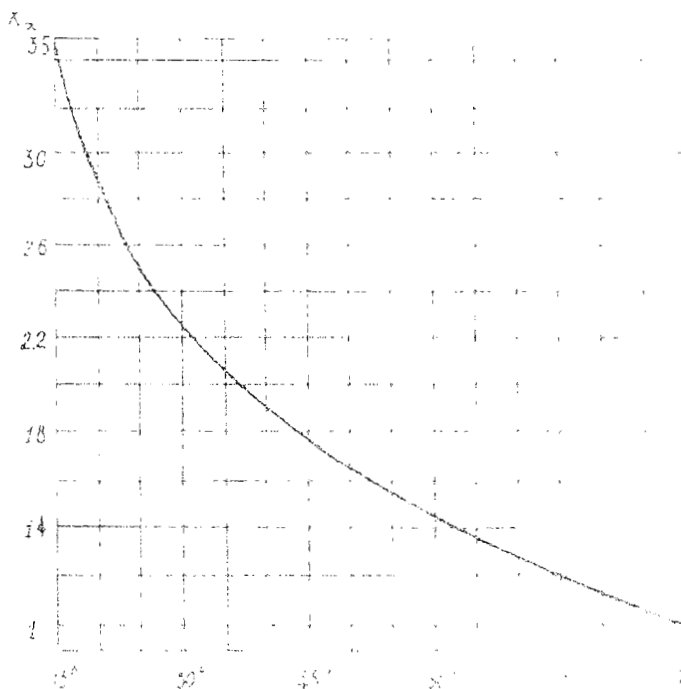


Рисунок 18 - Зависимость коэффициента K_d от угла резания α_r

3.1.4 Силовой расчет цепи

Определение внешних сил, которые действуют на рабочее оборудование

Определяем усилие, которые действуют на цепной рабочий орган при разработке траншей вnominalном режиме работы.

Угол наклона рабочего органа к горизонту $\alpha = 42^\circ$

Nominalный режим работы отвечает разработке транш **III-V** категорий при скорости движения машины $V_m = 100 \text{ м/ч}$.

На 2-й вал зубчатого зацепления раздаточного редуктора поступает момент $M_F = 4055 \text{ Нм}$.

Nominalное касательное усилие в цепи секции рабочего органа равно

$$P = 0.5 M_F \frac{Z_4}{Z_3} \eta_f \eta_n \frac{1}{0.5 D} = 0.5 \cdot 4055 \frac{54}{13} 0.98 \cdot 0.85 \frac{1}{0.5 \cdot 0.3655} = 38390 \text{ Н}$$

где Z_4, Z_3 - число зубьев цилиндрической передачи редуктора при $\beta = 98^\circ$ при $= 0.85$ КПД цилиндрического зубчатого зацепления.

$D=0.3655\text{м}$ - делительный диаметр ведущей звездочки

Нормальное усилие в цепи рабочего органа

$$P_n = 0.4 P = 0.4 \cdot 38390 = 15355 \text{ Н}$$

Максимальный режим работы отвечает максимальному крутящему моменту на валу гидромотора:

$$M_{\max} = 2385 \text{ Нм}$$

Максимальное касательное усилие, возникающее в цепи секции рабочего органа

$$P_I = 0.5 M_{\max} \frac{Z_4}{Z_3} \eta_f \eta_n \frac{1}{0.5 D} = 0.5 \cdot 10247 \frac{54}{13} 0.98 \cdot 0.385 \frac{1}{0.5 \cdot 0.3655} = 97010 \text{ Н}$$

где $M_{\max} = 10247$

Нм - момент на 2-м валу цилиндрического зубчатого зацепления раздаточного редуктора при максимальном режиме нагрузки

Нормальное усилие в цепи рабочего органа:

$$P_{n\max} = 0.4 P_I = 0.4 \cdot 97010 = 38800 \text{ Н}$$

На основе опыта создания и эксплуатации котлованных машин с качающимся цепным рабочим органом боковое усилие на фрезах принимается постоянным для всех расчетных случаев $P_b = 14715 \text{ Н}$.

Определим нагрузку на секции рабочего органа в начале загубления

Усилие прижимания каждой секции рабочего органа определяем из условия реализации полной силы гидроцилиндров рабочего органа диаметром 160 мм при максимальном давлении в гидросистеме 25 Мпа (смотри формулу 29)

$$Z_1 = \frac{2Pn0,64 + 2G_{pr}3,956 + G_w2,094 + G_c0,654 + G_v0,362}{2 \cdot 5,22} \text{ Н}, \quad (29)$$

где $Pn = 477520$

H - усилие на штоке гидроцилиндра диаметром 160 мм при давлении 25 Мпа в поршневой пустоте; $= 20010$

G - сила веса одной секции рабочего органа.

$$\begin{aligned} Z_1 &= \frac{2Pn0,64 + 2G_{pr}3,956 + G_w2,094 + G_c0,654 + G_v0,362}{2 \cdot 5,22} \\ &= \frac{2 \cdot 477520 \cdot 0,64 + 2 \cdot 20010 \cdot 3,956 + 54350 \cdot 2,094 + 8340 \cdot 0,654 + 8440 \cdot 0,362}{2 \cdot 5,22} \\ &= 85446 \text{ Н}. \end{aligned}$$

В таблице 8 приведены названия и нумерация звеньев рабочего оборудования и массы и силы некоторых звеньев. Масса вторых звеньев мала и включена в силы секций рабочего органа, корпуса металля, рамы подъема

Таблица 8 Обозначения рабочего оборудования

Название звена	Номер звена	Номер точки приложения массы	Годы выпуска	Серия
Левая секция рабочего органа	1	2	1976-1981	2040
Правая секция рабочего органа	3	6	1976-1981	6040
Левый приводной вал	2
Правый приводной вал	4
Левый гидроцилиндр рабочего органа	5
Правый гидроцилиндр рабочего органа	6
Корпус металля	7	15	1976-1981	84350

Продолжение таблицы 8

	1	2	3	4	5
Промежуточная рама		8		850	8340
Гидроцилиндр перекоса		9			
Правый гидроцилиндр качания		10			
Левый гидроцилиндр качания		11			
Рама подъема		12	20	860	8440
Левый гидроцилиндр составления		13			
Правый гидроцилиндр составления		14			

3.2. Расчет натяжного устройства и фрез

Номинальный крутящий момент на выходе из редуктора рабочего органа по формуле 30

$$M_{\text{ном}} = M_{\text{ном}} i \eta \quad [Нм] \quad (30)$$

где $M_{\text{ном}} = 10247 \text{ Нм}$ - максимальный крутящий момент на 2-м валу раздаточного редуктора,

$\eta = 0.98$ - КПД цилиндрической пары раздаточного редуктора,

$i = Z_4/Z_3 = 54/13 = 4,154$ - передаточное отношение цилиндрической пары раздаточного редуктора.

$$M_{\text{ном}} = M_{\text{ном}} i \eta = 10247 \cdot 4,154 \cdot 0,98 = 41545$$

Номинальный крутящий момент на выходе из раздаточного редуктора определяем по формуле 31

$$M_n = M_{\text{ном}} \eta \quad [Нм], \quad (31)$$

где $M_n = 4055 \text{ Нм}$ - номинальный крутящий момент на 2-м валу раздаточного редуктора.

$$M_n = M_{\text{ном}} \eta = 4055 \cdot 4,154 \cdot 0,98 = 16508$$

Частота вращения выходного вала раздаточного редуктора определяется по формуле 32:

$$\omega = \frac{n}{l} \cdot \pi \text{рад/с} \quad (32)$$

$$n_o = \frac{n}{i} = \frac{375}{4,154} = 90,3$$

Максимальный крутящий момент на средней звездочке натяжного вала одной секции рабочего органа рассчитаем по формуле 33

$$M_3\max = M_{\max} i \eta \text{ Нм}, \quad (33)$$

где $i = Z_2/Z_1 = 12/9 = 1,333$ и $\eta = 0,85$ - передаточное отношение первой передачи и КПД цепи.

$$M_3\max = M_{\max} i \eta = 41715 \cdot 1,333 \cdot 0,85 = 47265$$

Максимальный крутящий момент на фрезе равен:

$$M_0\max = M_3\max = 47265 \text{ Нм}$$

Номинальный крутящий момент на трех звездочках натяжного вала (см. рисунок 19) рассчитаем по формуле 34.

$$M_3n = K \cdot K_m \cdot M_0\eta \text{ Нм} \quad (34)$$

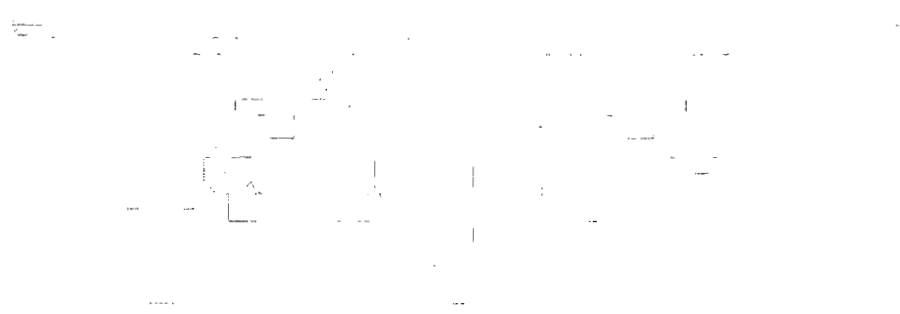
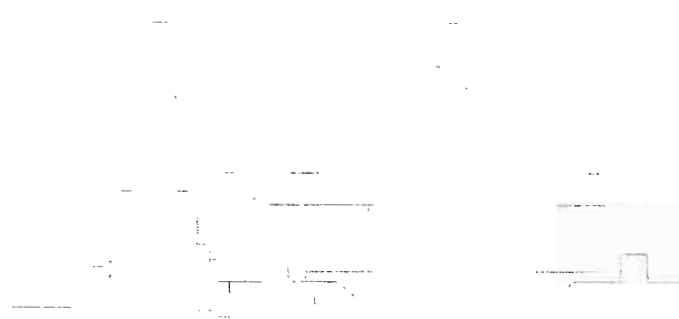


Рисунок 19 – Натяжное устройство

где $K_1 = 0,5$ - коэффициент распределения нагрузки между секциями рабочего органа,

$K_2 = 0,4$ - коэффициент, учитывающий часть нагрузки, падающей на звездочки при распределении нагрузки между звездочками и фрезой

$$M_{3p} = K_1 K_2 M_{tp} = 0,5 \cdot 0,4 \cdot 16308 \cdot 1,333 \cdot 0,85 = 3741$$

Поминальный крутящий момент на фрезе секции рабочего органа рассчитаем по формуле 35

$$M_{\phi f} = K_1 K_3 M_{tp} \eta \text{ Нм.} \quad (35)$$

где $K_3 = 0,6$ - коэффициент, учитывающий часть нагрузки падающей на фрезу при распределении ее между звездочками и фрезой.

$$M_{\phi f} = K_1 K_3 M_{tp} \eta = 0,5 \cdot 0,6 \cdot 16508 \cdot 1,333 \cdot 0,85 = 5611$$

Частота вращения натяжного вала и фрезы (смотри формулу 32)

$$\eta = \frac{n}{n_r} = \frac{90,3}{1,333} = 67,7 \text{ мин}^{-1}$$

Первый случай.

Поминальный момент распределен поровну между тремя звездочками, на фрезе реализуется поминальный крутящий момент.

Поминальное круговое усилие на каждой из трех звездочек рассчитывается по формуле 36:

$$P = \frac{M}{3D} \text{ Н.} \quad (36)$$

где $D = 0,483 \text{ м}$ - диаметр делительного круга ведомой звездочки

$$P = \frac{M}{3D} = \frac{2 \cdot 3741}{3 \cdot 0,483} = 5164$$

Поминальное круговое усилие на фрезе определяется по формуле 37

$$P_f = \frac{2M_f}{D_f} \text{ Н.} \quad (37)$$

$D_f = 0,94 \text{ м}$ - диаметр фрезы.

$$P\phi = \frac{2M\phi}{D\phi} = \frac{2 \cdot 5611}{0,94} = 11938$$

Второй случай.

Средняя звездочка нагружена максимальным крутящим моментом а фреза разгружена.

Максимальное круговое усилие на средней звездочке равно определяется по формуле 38:

$$P3_{\max} = \frac{2M\phi_{\max}}{D} \quad (38)$$

$$P3_{\max} = \frac{2M\phi_{\max}}{D} = \frac{2 \cdot 47265}{0,483} = 195710 \text{ Н}$$

Третий случай.

Фреза нагружена максимальным крутящим моментом

Максимальное усилие на фрезе рассчитаем по формуле 39.

$$P\phi = \frac{2M\phi_{\max}}{D\phi} \text{ Н.} \quad (39)$$

$$P\phi = \frac{2M\phi_{\max}}{D\phi} = \frac{2 \cdot 47265}{0,94} = 100564$$

Круговая сила направлена перпендикулярно продольной оси рамы рабочего органа, из-за этого ее влияние на величину боковой силы практически отсутствующее.

Предварительное натяжение цепи рассчитаем по формуле 40

$$S0 = 1,3k / a \cdot q \text{ Н.} \quad (40)$$

Где q - масса единицы длины цепи и рассчитывается по формуле 41

$$q = \frac{m_S}{l} \text{ кг/м.} \quad (41)$$

где $m = 810$ кг - масса цепи,

$l = 6,75$ - длина цепи,

$Kf = 4$ - коэффициент провисания при расположении звеньев от 40° до 60° градусов.

$a = 2,649$ м - расстояние между осями ведущих и ведомых звездочек

$$q = \frac{mg}{l} = \frac{810 \cdot 9,81}{6,75} = 1177$$

$$S0 = 1/3 Kf \cdot a \cdot q = 1/3 \cdot 4 \cdot 1177 \cdot 2,649 = 4158$$

Суммарные силы, которые действуют на каждую звездочку с учетом напряжения цепи,

при максимальном режиме определяются по формуле 42

$$Pz_{\max} = P3_{\max} + S0 \quad (42)$$

$$Pz_{\max} = P3_{\max} + S0 = 195710 + 4158 = 199868$$

при名义ном режиме определяются по формуле 43

$$P3z = P3n + S0 \quad (43)$$

$$P3z = P3n + S0 = 5164 + 4158 = 9322$$

Проектируем усилие, которые действуют на ведомую звездочку в направление оси координат рамы рабочего органа.

При работе в максимальном режиме усилия на звездочки определяются по формуле 44 и 45

$$\lambda z_{\max} = Pz_{\max} \cos 16' \text{ Н.} \quad (44)$$

$$\lambda z_{\max} = Pz_{\max} \cos 16' = 199868 \cdot 0,99975 = 199819 \text{ Н.}$$

$$Zz_{\max} = Pz_{\max} \sin 16' \text{ Н.} \quad (45)$$

$$Zz_{\max} = Pz_{\max} \sin 16' = 199868 \cdot 0,02218 = 433 \text{ Н.}$$

При работе в名义ном режиме усилия на звездочки определяются по формулам 46 и 47:

$$X_{33} = P_{33} \cos 16' \text{ H}, \quad (46)$$

$$X_{33} = P_{33} \cos 16' = 9322 \cdot 0,99975 = 9320 \text{ H}$$

$$Z_{33} = P_{33} \sin 16' \text{ H} \quad (47)$$

$$Z_{33} = P_{33} \sin 16' = 9322 \cdot 0,02218 = 207 \text{ H}$$

Проекции усилия натяжения цепи определяются по формулам 48 и 49:

$$X_0 = S_0 \cos 16' \text{ H}, \quad (48)$$

$$X_0 = S_0 \cos 16' = 4158 \cdot 0,99975 = 4157 \text{ H}$$

$$Z_0 = S_0 \sin 16' \text{ H} \quad (49)$$

$$Z_0 = S_0 \sin 16' = 4158 \cdot 0,02218 = 92 \text{ H}$$

На основе опыта создания и эксплуатации котлованных машин с качающимся рабочим органом боковое усилие на фрезах принимается постоянным для всех расчетных случаев.

3.3 Расчет гидросистемы привода рабочего органа землеройной машины

3.3.1 Расчет гидролиний привода

Для подвода гидроцилиндров рабочего оборудования на машине установлен гидронасос АГУ060DRS/101-NZC12N00, рабочий объем которого равен

$$q_H = 60 \cdot 10^{-6} \text{ м}^3.$$

Частота обращения исходного вала насосу $n_H = 2680$ об./мин.

Подача рабочей жидкости от гидронасоса к гидроцилиндрам регулируется с регулированием сечений распределителя

Она равна:

– к двум гидроцилиндрам рабочего органа:

$$Q_u = 60 \text{ л/мин} = 1000 \text{ см}^3/\text{с},$$

к двум гидроцилиндрам укладки рабочего органа:

$$Q_u = 125 \text{ л/мин} = 2080 \text{ см}^3/\text{с},$$

– к двум гидроцилиндрам перемещения рабочего органа:

$$Q_u = 80 \text{ л/мин} = 1330 \text{ см}^3/\text{с}.$$

Скорости движения и втягивание потоков гидроцилиндров рабочего органа и гидроцилиндров составления рабочего органа находятся по формуле 50

$$V = \frac{Q_u \eta_{ia}}{a_n F_n}, \quad (50)$$

где $\eta_{ia} = 0,92$ – объемный КПД гидроагрегатов, установленных в магистралях,

$a_n = 2$ – количество параллельно расположенных гидроцилиндров

F_n – площадь поршневой полости гидроцилиндра

Продолжительность движения и втягивания потоков рассчитывается по формуле 51:

$$t = \frac{S}{V}, \quad (51)$$

где S – полный ход гидроцилиндров.

Параметры гидроцилиндров приведены в таблице 9, а их кинематические данные – в таблице 10.

Таблица 9 – Параметры гидроцилиндров

Название	Диаметр, м		Площадь поршня, м ²		Ход, м
	цилиндра	потока	без потоковой	с потоком	
Гидроцилиндры рабочего органа	0,16	0,09	0,0201	0,0137	0,9
Гидроцилиндры составления	0,16	0,09	0,0201	0,0132	1,4

Таблица 10 Рабочие параметры

Название	Скорость, м/с		Продолжительность, с	
	выдвижение	втягивание	выдвижение	втягивание
1	2	3	4	5
Гидроцилиндры рабочего органа	0,023	0,034	39	27
Гидроцилиндры составления	0,048	0,07	29	20

Суммарная продолжительность перевода рабочего оборудования из транспортного положения в рабочее:

$$t_{pr} = 39 + 29 = 68 \text{ с.}$$

из рабочего положения в транспортное.

$$t_{tp} = 27 + 20 = 47 \text{ с.}$$

Частота качания рабочего органа выполняется двумя гидроцилиндрами диаметром 100 мм со штоками диаметром 56 мм.

Площадь поршневой и штоковой полости поршиня:

$$F_u = 0,00785 \text{ м}^2, \quad F_m = 0,00539 \text{ м}^2.$$

Ход штоков гидроцилиндров Sh = 0,25 м

Средняя скорость выдвижения и втягивания штоков равна определена по формуле 52

$$\bar{v} = \frac{Q \cdot \eta}{F_u + F_m} \quad (52)$$

$$\bar{v} = \frac{1330 \cdot 10 \cdot 0,92}{0,00785 + 0,00539} = 0,02 \text{ м/с.}$$

Продолжительность полного качания рассчитаем по формуле 53:

$$T = \frac{s}{v} \text{ с} \quad (53)$$

$$T = \frac{0,25}{0,02} = 12,5 \text{ с.}$$

При угле качания $\alpha = 37^\circ / 0,646$ рад - частота качания составит (смогр. формулу 54):

$$\nu = \frac{\alpha}{t} \text{ рад/с.} \quad (54)$$

$$\nu = \frac{\alpha}{t} = \frac{37^\circ}{12,5} = 3 \text{ рад/с} = 0,05 \text{ рад/с}$$

Полезная мощность определяется по формуле 55:

$$N_p = N_{\text{двиг}} \eta_{\text{пр.о}} \text{ кВт} \quad (55)$$

где $N_{\text{двиг}} = 250 \text{ кВт}$ - мощность базового двигателя (двигателя).

$\eta_{\text{пр.о}} = 0,45 \dots 0,57$ - КПД привода и рабочего оборудования

$$N_p = N_{\text{двиг}} \eta_{\text{пр.о}} = 250 \cdot 0,53 = 132,5 \text{ кВт}$$

Полезную мощность распределяют между отдельными ВМ, принимая при этом такие предположения:

- механизмы, выполняющие главные технологические операции, потребляют 100% полезной мощности, если одновременно с ними не работают другие механизмы, 70% мощности, если одновременно с ними работают механизмы, которые выполняют вспомогательные операции;

- механизмы, выполняющие вспомогательные операции, потребляют 30% полезной мощности независимо от того работают они одновременно с главным механизмом или нет;

- если одновременно работают несколько механизмов, которые выполняют вспомогательные операции, то они вместе потребляют 30% полезной мощности, которая равномерно распределяется на эти механизмы;

- мощность, потребляемая любым механизмом с гидроприводом, приложенная непосредственно к штокам гидроцилиндров или к валу гидромотора.

Таким образом, имеем следующее распределение мощности: 70% ($N_p = 92,75 \text{ кВт}$) мощности тратится на привод цепного рабочего органа машины и

$$Q = \frac{61,2 \cdot 83,94}{25} = 205,485 \text{ л/мин}$$

По известному значению мощности $N_{\text{н}}$, рабочего давления P_{n} подачи $Q_{\text{н}}$ выбираем насос для гидропривода машины.

Насос 250A-20, $n_{\text{n}} = 960 \text{ об/мин.}$, $Q_{\text{н}} = 3,33 \text{ л/с.}$

При выборе количества и типа насосов учитывались такие практические рекомендации:

- в гидроприводе подъемно-транспортных строительных и дорожных машин часто используют шестеренные и аксиально-поршневые насосы. Гидромоторы, пластинчатые и радиально-поршневые насосы;

- в гидросистемах легкого и среднего режимов работы целесообразно применять шестеренные насосы, а для тяжелого и весьма тяжелого режимов радиально-поршневые;

- радиально-поршневые насосы сравнительно с шестеренными насосами имеют более высокий объемный КПД при низких температурах и низких при высоких;

- использование больших звуковых насосов на гидравлическом гидроприводе не рекомендуется.

Уточнение частоты вращения вала насоса, необходимой для обеспечения нужной подачи об/мин, рассчитаем по формуле 59:

$$n_{\text{n}} = Z \frac{10 \cdot Q_{\text{n}}}{Z_{\text{n}} \cdot q_{\text{n}} \cdot \eta_{\text{n}}} \text{ об/мин} \quad (59)$$

где $Z = 2$ - количество насосов данной гидросистемы

$q_{\text{n}} = 20$ - рабочий объем насоса см³/об.

$\eta_{\text{обн}} = 0,94$ - объемный КПД насоса.

$$n = \frac{10 \cdot 3,33 \cdot 60}{1 \cdot 250 \cdot 0,87} = 918,62 \text{ об/мин}$$

Определение передаточного отношения между валом отбора мощности базового двигателя и валом насоса произведем по формуле 60.

$$I = \frac{H}{h}$$

(60)

$$i = \frac{1500}{918,62} = 1,633$$

3.3.2 Расчет трубопроводов гидропривода

Важным элементом гидропривода есть трубопроводы, предназначенные для передачи энергии от насоса до гидродвигателей и для соединения гидроагрегатов между собой.

По назначению трубопроводы разделяются на:

напорные;

всасывающие;

сливные;

дренажные;

по конструктивным признакам:

жесткие (металлические трубы)

гибкие (резиновые, резинометаллические шланги)

Жесткие трубопроводы изготавливают из стальных (сталь 10 или 20) бесшовных горячекатанных (ГОСТ 8732-78) и холодногнутых (ГОСТ 8734-75) труб.

Гибкие (ластичные) трубопроводы (рукава) используют для передачи потока жидкости между звенями со взаимным перемещением, а также для компенсации неточностей изготовления и облегчение сборки.

В гидросистемах трубы и рукава соединены между собой с помощью унифицированной присоединительной арматур (штуцеров, тройников и т.п.).

Внутренний диаметр трубы, мм рассчитываем по формуле 61.

$$d = 4,5\sqrt{Q} - 1 \quad (61)$$

где Q_n - подача насоса, л/мин;



V - скорость потока жидкости, м/с.

$$d = 4,5 \sqrt{\frac{205}{4,25}} = 31,25,$$

Площадь поперечного сечения трубы, см^2 рассчитаем по формуле 6.2

$$f = \frac{\Omega}{6V} \quad (6.2)$$

$$f = \frac{205}{6 \cdot 4,25} = 8.$$

Скорость потока рабочей жидкости выбираем в зависимости от назначения трубопровода, давления в гидросистеме и условий, а также эксплуатации.

Толщину стенки металлического трубопровода определяем из условия устойчивости, мм, рассчитаем по формуле 6.3:

$$\delta = \frac{P_d d}{2[\sigma_p]} \quad (6.3)$$

где P_n - номинальное давление МПа,

$[\sigma_p] = 140 \text{ МПа}$ - допустимое напряжение раскрытия стали 20

$$\delta = \frac{25 \cdot 31,25}{2 \cdot 140} = 2,79,$$

Уточняем согласно ГОСТ 8734-75 диаметр и толщину стенок трубопроводов выбираем трубопровод с условным проходом $D_s = 32 \text{ мм}$, о. бим.

Минимальный диаметр дренажных линий должен быть 8 - 10 см. Безкавитационную работу насосов можно обеспечить увеличением диаметров и уменьшением длины всасывающего трубопровода, расположенного выше всасывающей линии насоса, а также с помощью других средств [11].

Расчет затрат давления в гидросистеме необходимый для определения КПД гидропривода, выбора геометрических размеров, для установления трудоспособности гидропривода при низких температурах. Гидросистема считается оптимально спроектированной, если затраты не превышают 6% номинального давления насосов.

Максимальная температура рабочей жидкости $t_{\max} = 200^{\circ}\text{C}$

Общие затраты давления, могут быть определены как сумма затрат в отдельных элементах данной гидросистемы по формуле 64:

$$\sum \Delta P = \sum \Delta P_d + \sum \Delta P_m + \sum \Delta P_r \quad (64)$$

где $\sum \Delta P_d$ – суммарные дорожные затраты давления на прямоточных участках трубопроводов;

$\sum \Delta P_m$ – суммарные местные затраты давления в сгибах трубопроводов, штуцерах, переходниках, тройниках и т.п.,

$\sum \Delta P_r$ – суммарные затраты давления в гидроагрегатах (распределителях, клапанах, фильтрах и т.п.)

Затраты давления рассчитываем в такой последовательности. Разделяем гидросистему на участки, каждая из которых имеет одинаковые скорости потока жидкости и диаметры трубопроводов. Определяем суммарные затраты давления в гидролинии цилиндра на линии

Всасывания по формуле 65:

$$\sum \Delta P_{in} = \sum \Delta P_{d,in} + \sum \Delta P_{m,in} \quad (65)$$

Напорной по формуле 66.

$$\sum \Delta P_{out} = \Delta P_{in,1} + \Delta P_{in,2} + \Delta P_{in,3} + \Delta P_{in,4} + \Delta P_{in,5} + \Delta P_{in,6} + \Delta P_{in,7} + \Delta P_{in,8} + \Delta P_{in,9} + \Delta P_{in,10} + \Delta P_{in,11} + \Delta P_{in,12} \quad (66)$$

Сливной по формуле 67:

$$\sum \Delta P_{out} = \Delta P_{out,1} + \Delta P_{out,2} + \Delta P_{out,3} + \Delta P_{out,4} + \Delta P_{out,5} + \Delta P_{out,6} + \Delta P_{out,7} + \Delta P_{out,8} + \Delta P_{out,9} + \Delta P_{out,10} \quad (67)$$

где ΔP_d , ΔP_m – дорожные и местные затраты давления в разных участках гидросистемы, кПа.

ΔP_d , ΔP_m , ΔP_r – затраты давления в распределителе, распределителе потока фильтра и обратном клапане, кПа.

Дорожные затраты давления жидкости, связанные с ее трением об стенки трубопроводов, кПа, определяем по формуле 68:

$$\Delta P_d = \frac{0.5 \lambda \rho V^2}{10^3 d} \quad (68)$$

где λ – гидравлический коэффициент трения,

где d - соответственно диаметр внутренне диаметры трубопровода на данном участке, м,

ρ - плотность жидкости, кг/м³,

V - скорость потока жидкости, м/с.

Гидравлический коэффициент трения жидкости зависит от числа Рейнольдса и при режиме определим по формулам 69 и 70:

$$\text{ламинарном: } \lambda = 75/\text{Re} \quad (69)$$

$$\text{турбулентном: } \lambda = 0,3146 \cdot \text{Re}^{-0,25} \quad (70)$$

Ламинарному режиму течения жидкости в трубопроводах круглого поперечного сечения отвечают числа Рейнольдса $\text{Re} < 2200 - 2300$ турбулентному режиму $\text{Re} > 2200 - 2300$.

Для трубопроводов круглого сечения расчет по формуле 71

$$\text{Re} = \frac{Vd}{\nu}, \quad (71)$$

где V - скорость потока жидкости, м/с.

d - диаметр трубопровода, м,

ν - кинематическая вязкость рабочей жидкости м²/с

$$\text{Re} = \frac{4,25 \cdot 0,032}{0,032} = 226,67.$$

Режим течения жидкости в трубопроводах - ламинарный.

Гидравлический коэффициент трения жидкости.

$$\lambda = \frac{75}{226,67} = 0,3309$$

Порожные потери давления жидкости

$$\Delta P_{\text{п.}} = \frac{0,5 \lambda / \rho l}{10 \cdot d} = \frac{0,5 \cdot 0,3309 \cdot 0,5 \cdot 886 \cdot 4,25}{10 \cdot 0,032} = 82,738$$

$$\Delta P_{\text{п.}} = \frac{0,5 \cdot 0,3309 + 886 \cdot 4,25}{10 \cdot 0,032} = 165,476$$

$$\Delta P_{\text{m1}} = \frac{0,5 \cdot 0,3309 + 886 \cdot 4,25}{10 \cdot 0,032} = 165,470$$

$$\Delta P_{\text{m1}} = \frac{0,5 \cdot 0,3309 + 886 \cdot 4,25}{10 \cdot 0,032} = 165,476$$

Местные затраты давления в гидросистеме, кПа рассчитаем по формуле 72

$$\Delta P_m = \frac{0,5 \xi \rho V^2}{10}, \quad (72)$$

где ξ - коэффициент местных сопротивлений.

$\Delta P_{\text{m1}} = 2,447575$,

$$P_{\text{m1}} = 2,447575,$$

$$\Delta P_{\text{m2}} = \frac{0,5 \cdot 1 \cdot 886 \cdot 4,25}{10} = 8,0016875,$$

$$\Delta P_{\text{m2-8}} = 7 \cdot \frac{0,5 \cdot 1,4 \cdot 886 \cdot 4,25}{10} = 56,0118125$$

$\Delta P_{\text{P1/C}} = 60 \text{ Па}, \quad \Delta P_{\text{P2}} = 60 \text{ кПа}, \quad \Delta P_{\text{P1}} = 30 \text{ кПа}, \quad \Delta P_{\text{P3K}} = 20 \text{ кПа}$

Суммарные затраты давления в гидросистеме цилиндра на лифт, кПа
Весывающей.

$$\sum \Delta P_m = 82,738 + 2,447575 = 85,185575$$

Напорной:

$$\sum \Delta P_n = 165,476 + 165,476 + 165,476 + 8,0016875 + 56,0118125 + 60,0 + 60,0 + 30,0 + 20,0 = 730,44149875,$$

Сливной:

$$\sum \Delta P_s = 165,476 + 165,476 + 165,476 + 8,0016875 + 56,0118125 + 60,0 - 60,0 - 30,0 + 20,0 = 730,44149875.$$

3.3.3 Определение КПД гидравлического привода РО

Следующим этапом расчета и проектирование гидропривода есть определения его КПД. Для оптимально разработанной гидросистемы полный (общий) КПД определяется в пределах при $0,9 \dots 0,97$ как произведение гидравлического, механическое и объемного КПД, определяем по формулам 73:

$$\eta_{\text{ак}} = \eta \eta_{\text{мех}} \eta_{\text{об}}, \quad (73)$$

Гидравлический КПД рассчитываем по суммарным затратам давления в гидроприводе по формуле 74:

$$\eta = (P - \sum \lambda P) / P \quad (74)$$

где P_n - номинальное давление в гидросистеме, МПа,

$\sum \lambda P$ - суммарные затраты давления, МПа.

$$\eta = (25 - 1,55) / 25 = 0,938.$$

Механический КПД находим, как произведение механических КПД всего последовательно соединенного гидрооборудования, в котором происходят затраты энергии и трение по формуле 75:

$$\eta_{\text{мех}} = \eta_{\text{мех,п}} \eta_{\text{мех,р}} \eta_{\text{мех,в}} \quad (75)$$

где $\eta_{\text{мех,п}} = 0,84 \dots 0,98$ - механический КПД насоса

$\eta_{\text{мех,р}} = 0,9 \dots 0,95$ - механический КПД распределителя

$\eta_{\text{мех,в}}$ - механический КПД гидродвигателя - для гидромоторов

$\eta = 0,85 \dots 0,94$ и для гидроцилиндров,

$\eta = 0,92 \dots 0,98$.

Объемный КПД гидропривода рассчитывается по формуле 76.

$$\eta_{\text{об}} = \eta_{\text{об,п}} \eta_{\text{об,р}} \eta_{\text{об,в}} \quad (76)$$

где $\eta_{\text{об,п}} = 0,84 \dots 0,98$ объемный КПД насоса.

$\eta_{\text{расп}} = 0,92 \dots 0,96$ - объемный КПД распределителя:

$\eta_{\text{двиг}}$ - объемный КПД гидродвигателя, который равняется 0,84...0,98 для гидромоторов и принимается за единицу для гидроцилиндров.

Общий КПД рассчитывается по формуле 77:

$$\eta_{\text{об}} = \eta \eta_{\text{расп}} \eta_{\text{двиг}} \quad (77)$$

$$\eta_{\text{об}} = \eta \eta_{\text{расп}} \eta_{\text{двиг}} = 0,938 \cdot 0,730944 \cdot 0,83165184 = 0,57$$

По результатам расчета принимаем гидравлическую схему привода, изображенную на рисунке 20

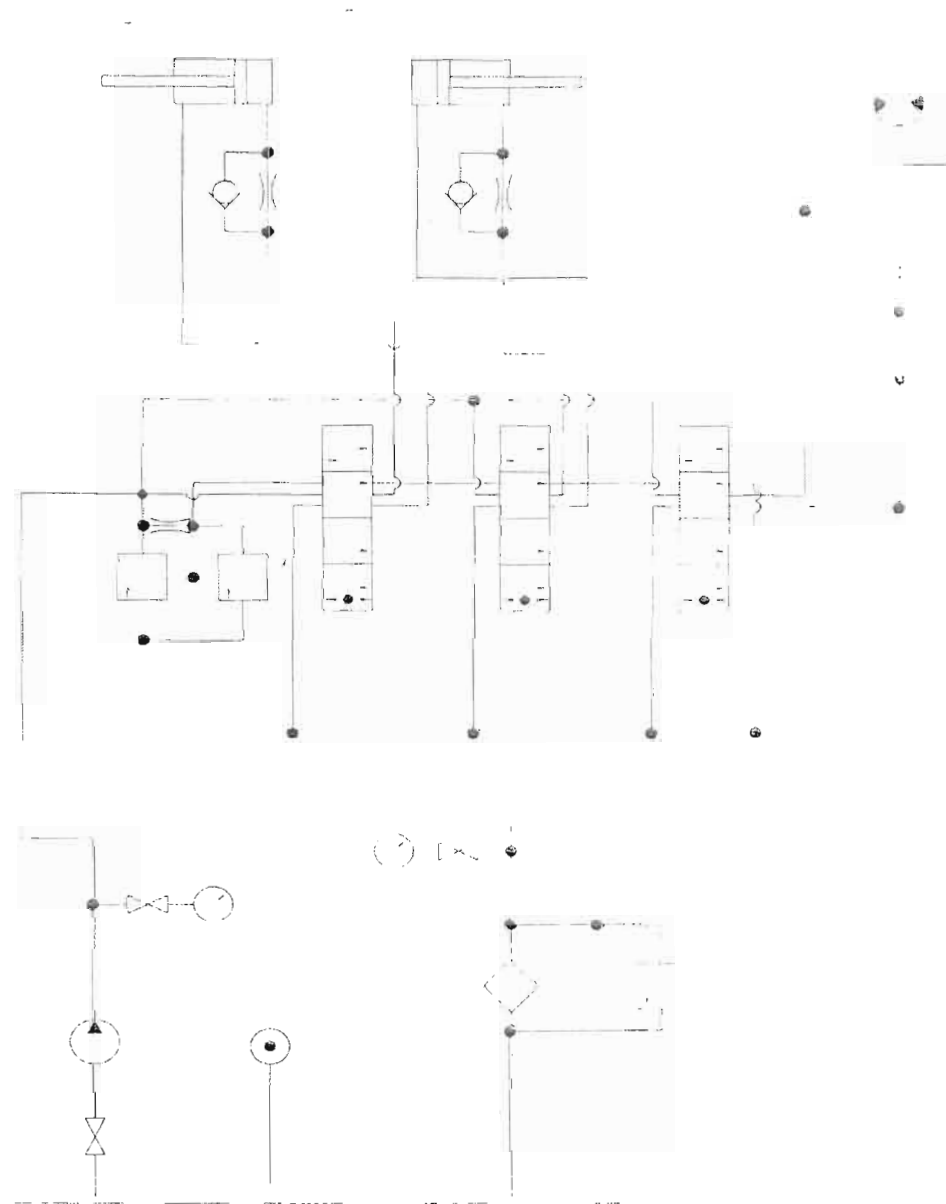


Рисунок 20 – Гидросхема привода РО

3.4 Результаты расчетов и определение рациональных параметров рабочего органа траншесконаряда на основании теоретических и расчетных данных

Основные параметры строительных экскаваторов регламентированы ГОСТ 17383-83. Схематическое обозначение размеров рабочего оборудования представлено на рисунке 21.

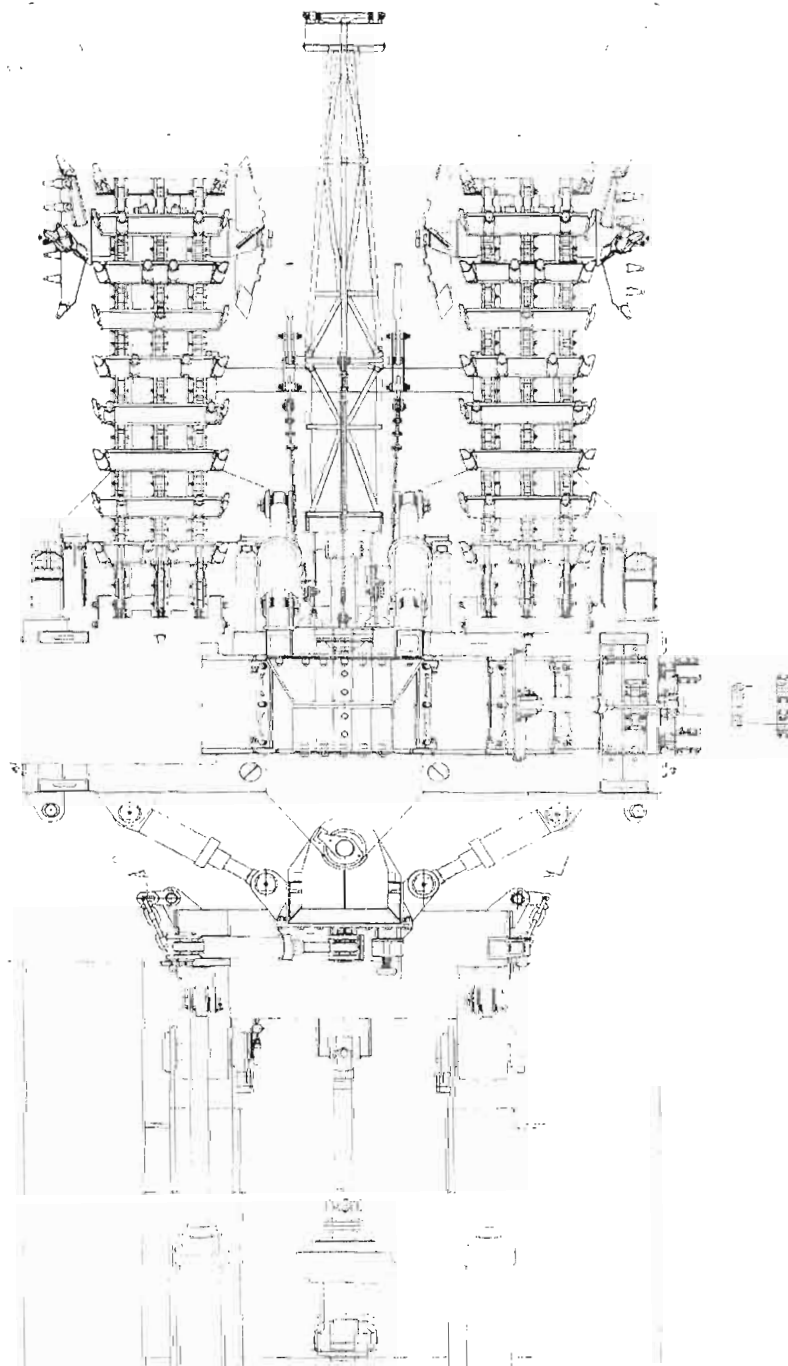


Рисунок 21 – Рабочее оборудование с модернизированным рабочим органом

Полученные размеры были сопоставлены с современными образцами РО трапециевидных экскаваторов, а также с размерами указанными в ГОСТе.

Из геометрических соотношений ширина зуба при расчете по формуле 78

(78)

Цлина зуба до кромки ковша при расчете по формуле 79:

(79)

где δ – угол заострения зуба,

$$\delta = 20 \dots 25^\circ;$$

θ – задний угол резания, $\theta = 7 \dots 10$

Угол резания.

Основываясь на теоретических данных, примем, для уменьшения сил сопротивления копанию угол резания $\alpha_r = 42^\circ$.

Таблица 11 Параметры модернизированного РО

Ширина РО, мм	930
Высота РО, мм	870
Цлина РО, мм	3000
Угол резания, град	42
Масса РО, т.	

Определение рациональных параметров скребкового элемента РО

Теоретический анализ взаимодействия РО экскаватора позволяет определить что при разработке грунта, на разрабатываемой поверхности образуется трапециевидная прорезь, которая способствует уменьшению трения боковой поверхности ножа, за счет чего уменьшается горизонтальная составляющая сопротивления грунта копанию (смогр. рисунок 22.)

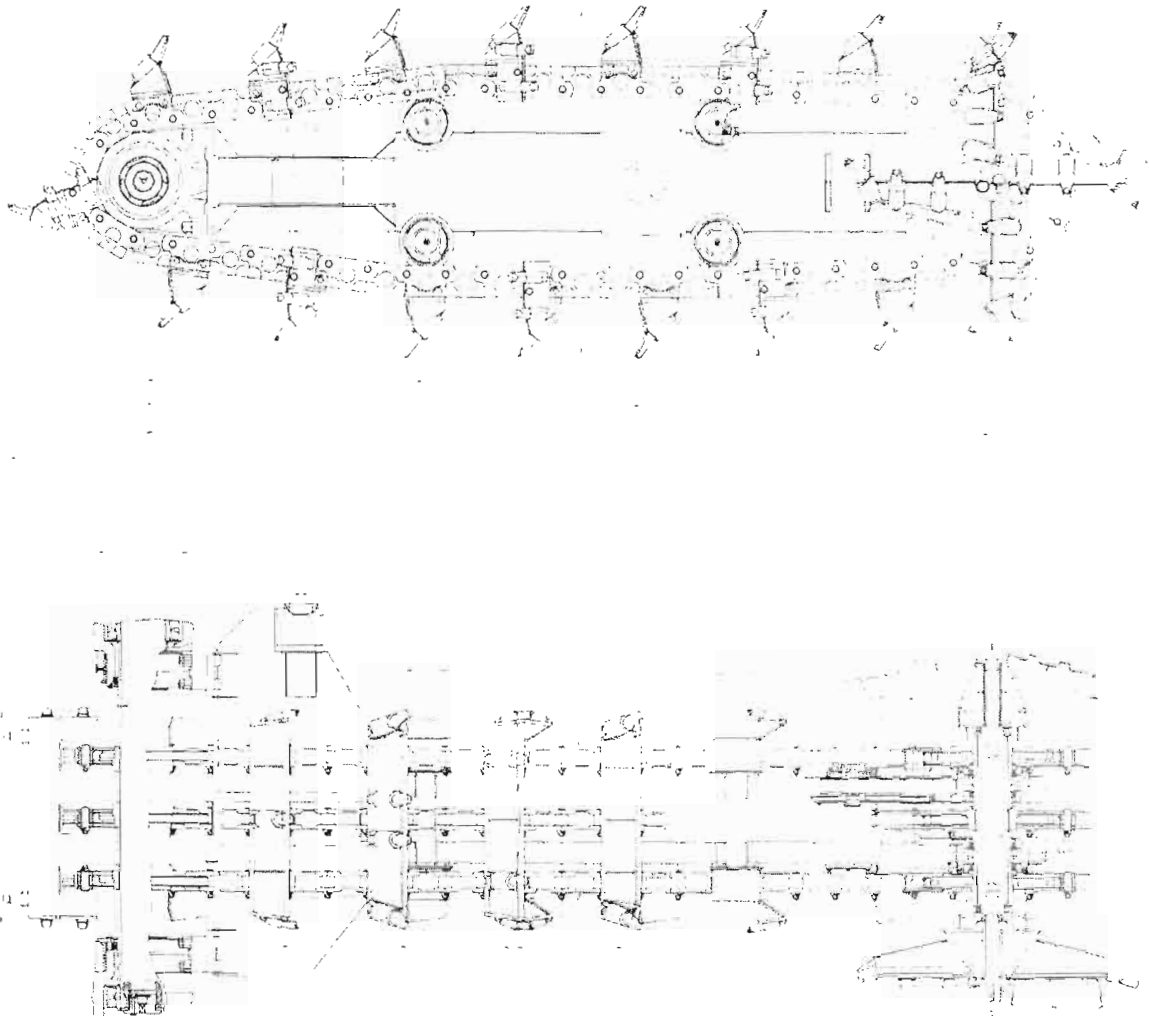


Рисунок 22 – Модернизированная конструкция рабочего органа

Однако значительным недостатком ее является потеря грунта в боковые расширения прорези и затрата при этом усилия на отцепление грунта от массива, что существенно отражается на общей массе разработанного грунта и опероемкости процесса.

Анализируя выше сказанное, было принято решение о придании скребковому элементу трапециевидной формы с зубьями, что позволит избежать утрат грунта в боковые расширения прорези и увеличить массу призмы во время и одновременно уменьшить горизонтальное сопротивление грунта копанию.

Также при блокированном резании грунта в процессе его разработки скребковый элемент выполняет роль грунтовыносящего элемента. Для обеспечения выполнения работы копания грунта было принято решение об установке зубьев на

скребковый элемент трапециевидной формы, что позволяет увеличить эксплуатационную производительность данного экскаватора и позволит снизить усилие копанию и соответственно энергоемкость процесса разработки грунта экскаваторным РО и повысить объем разрабатываемого грунта.

Конструкция грунтовыносящего элемента.

Грунтовыносящий элемент выполнен из стальной стали №9Г2С в виде коробчатой формы с преобладанием трапеции в нижнем поясе конструкции.

Ширина полосы захвата была принята с учетом обеспечения прироста объема выносящего грунта в среднем на 15%, а также превышения прочностного расчета.

Таблица 12 – Параметры скребкового элемента

Ширина скребка, мм	530
Высота скребка, мм	200
Количество зубьев на чистотном захвате, шт	4
Масса скребка, кг	55

Конструктивные параметры подбираем путем проведения графоаналитического метода, основанного на построении конструкции и нахождении ее параметров во время вычерчивания имеющихся параметров конструкции (смогри рисунок 23).

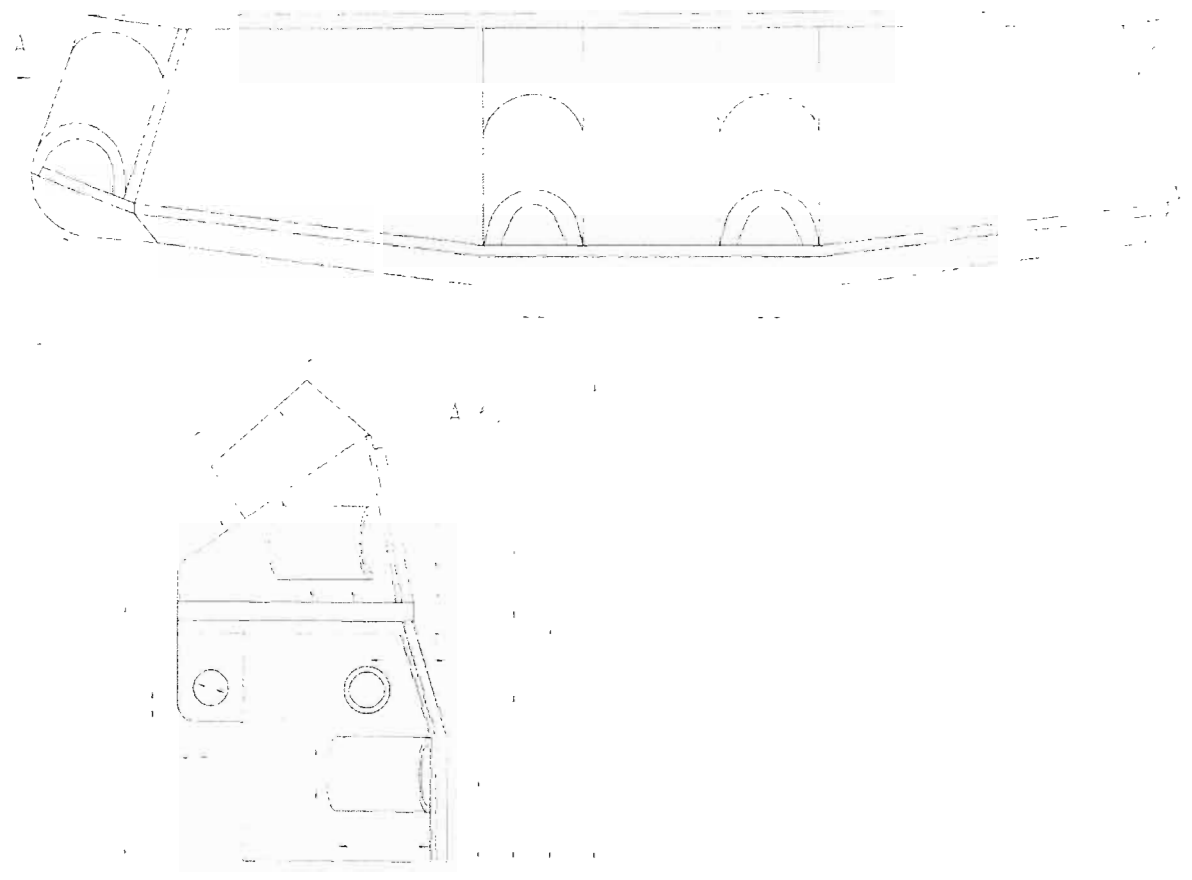


Рисунок 23 Трапециевидный скребковый конвейер

4 ЭКОНОМИЧЕСКАЯ ЧАСТЬ

4.1 Определение годового экономического эффекта от применения реконструированного цепного экскаватора

В состав экономического расчета включены следующие разделы:

- расчёт экономической эффективности технических решений в области механизации производства строительных работ;
- расчёт технико – экономических показателей реконструкции строительных машин.

Произведём расчёт капитальных затрат, текущих затрат, величину фондоёмкость срока окупаемости, определение годового экономического эффекта от применения в строительстве экскаватора, рабочий орган которого имеет рациональные параметры и формы, что способствует снижению воспринимаемой нагрузки (стадия постановки на серийное производство). После чего внесём полученные результаты в таблицы, где можно будет сравнить полученную эффективность базовой (БТ) и реконструированной техники(РТ).

Экскаватор предназначен для выполнения земляных работ общего объема в дорожном, гражданском, промышленном, гидroteхническом и других видах строительства. Агрегат представляет собой навесное оборудование с изменённой конструкцией рабочего органа, смонтированное на экскаваторе 5 размерной группы.

Реконструированная машина отличается от существующей более прогрессивной конструкцией навесного экскавационного оборудования, позволяющей разрабатывать более прочный грунт, а также изменения конструкции рабочего органа, что снижает нагрузки, воспринимаемые экскаватором при разработке грунта. Эти усовершенствования привели согласно акту приемочных испытаний к увеличению технической производительности при работе с массивным грунтом.

Исходные данные для выполнения данной работы взяты из реальных условий на момент выполнения работы, представлены в таблице 12.

Таблица 12 – Основные исходные данные

Наименование	Усл. обозначение	Единица измерения	В1	Р1
Производительность	H	m^3/q	596	700
Масса техники	Q	t	36,750	36,810
Установленная мощность	P	kВт	250	250
Количество обслуживающего персонала		чел	1	1
Оптовая цена	H	руб	5000000,00	5100000,00
Средняя трудоемкость устранения отказа	T_o	чел/ч	4,5	4,5

4.2 Определение годового объема работ

Годовая производительность машины определяется по формуле 80

$$H = H_1 \cdot T \quad (80)$$

где H_1 – среднечасовая техническая производительность машины в натуральных измерениях;

T – количество машиночасов работы в год на одну машину

Количество машиночасов работы в год на одну машину определяется по формуле 81.

$$T = \frac{\phi}{k_u \times t_u + \xi} \cdot \frac{T_o}{T_u} \quad (81)$$

где ϕ – фонд рабочего времени, дней (прил.2), $\phi = 2550$ дней.

k_u – средний коэффициент сменности работы машины, см. табл. (прил.1), $k_u = 1,4$ см.год/дн;

t_u – средняя продолжительность рабочей смены, часов (прил.3),

$t_u = 7,7$ часа.

t_p — количество дней нахождения машины в ГО и ГР приходящееся на 1 маш/ч/раб;

T_p — средняя продолжительность одной перебазировки машины. Так как не перебазируется, $T_p = 0$;

t_m — среднее количество машинно-часов, маш·ч = $t_m = 1000 \text{ маш} \cdot \text{ч}$

Количество дней нахождения машины в ГО и ГР рассчитаем по формуле 82

$$t_p = \frac{\sum_{i=1}^n b_i H}{k_v \times T_n} + \frac{b_o}{T_o} \quad (82)$$

где k_v — коэффициент, определяемый (прил. 1), $k_v = 1,2$;

b — нормативная продолжительность выполнения технических обслуживаний и ремонтов;

H — количество технических обслуживаний и ремонтов за межремонтный цикл.

b_o — средняя продолжительность устранения одного отказа. Для

t_o — наработка машины на отказ:

Для БТ: $t_o = 150 \text{ маш} \cdot \text{ч}$,

Для РТ: $t_o = 150 \text{ маш} \cdot \text{ч}$;

t_m — межремонтный цикл, маш/ч.

Величину $\sum_{i=1}^n \frac{b_i H}{T_n}$ для градиционной техники принимаем по

Для БТ: $\sum_{i=1}^n \frac{b_i H}{T_n} = 0,0103 \text{ от маш} \cdot \text{ч}$

Для РТ: $\sum_{i=1}^n \frac{b_i H}{T_n} = 0,0103 \text{ от маш} \cdot \text{ч}$

Тогда для БТ: $t_p = \frac{0,0103}{1,2} + \frac{0,35}{150} = 0,0109 \text{ от маш} \cdot \text{ч}$

$$I_1 = \frac{255}{(0,093 + 0,0109)} = 2454 \text{ машч. год}$$

$$I_1 = 596 \times 2454 = 1462584 \text{ м}^3/\text{год}$$

$$\text{Для РТ: } I_1 = 700 \times 2454 = 1717800 \text{ м}^3/\text{год}$$

4.3 Расчет капитальных затрат

Величину капитальных затрат для БТ и НТ можно определить по формуле 83:

$$K = k_c \times I_1 \quad (83)$$

Где $k_c = 1,12$ – коэффициент перехода от оптовой цены к среднебалансовой стоимости объекта капиталовложений;

I_1 – оптовая цена.

$$\text{Для БТ: } K = 1,12 \times 5000000 = 5600000 \text{ руб.}$$

$$\text{Для НТ: } K = 1,12 \times 5100000 = 5712000 \text{ руб.}$$

4.4 Расчет текущих затрат

а) затраты оператору.

Затраты на основную заработную плату оператора определяются по формуле 84:

$$Z_o = 1,62 \times k_c \times n \times G \quad (84)$$

где $k_c = 1,105$ – средний коэффициент к тарифной ставке,

n – количество операторов в одну смену,

$G = 238 \text{ руб. маш.-ч.}$ – часовая тарифная ставка работы

Тогда для

$$\text{БТ: } Z_o = 1,62 \times 1,105 \times 238 \times 1 = 426,04 \text{ руб. маш. - ч.}$$

$$\text{РТ: } Z_o = 1,62 \times 1,105 \times 238 \times 1 = 426,04 \text{ руб. / маш. - ч.}$$

б) затраты на ГО и текущий ремонт.

Затраты на выполнение ТО и ТР машины определяются по формуле 85

$$P_{\text{то}} = 1,3 \times 1,2 k_c \left[\frac{\sum r_i H_i}{k_1 T_u} + \frac{r_i}{T_u} \right] \times (1 + 0,846 \times k_2) \quad (85)$$

где $k_c = 1,1$ – коэффициент, учитывающий трудоемкость выполнения ТО в текущих ремонтов;

$1,2$ – средний коэффициент, учитывающий премии рабочих;

$r_i = 155 \text{ руб}$ – часовая тарифная ставка срочно-ремонтной работы;

k_1 – коэффициент перехода от суммы основной затраты к затратам технической эксплуатации машины к стоимости запасных частей.

Принимаем $k_1 = 1,2$.

T_u – средняя паработка на отказ;

$$\frac{\sum r_i H_i}{T_u} \rightarrow \text{принимаем следующие значения}$$

$$\text{Для БТ: } \frac{\sum r_i H_i}{T_u} = 0,0147$$

Тогда для БТ и РТ:

$k_c = 1,105; k_1 = 0,82; k_2 = 1,2; r_i = 4,5 \text{ руб/ч.}$

Для БТ и РТ:

$$P_{\text{то}} = 1,3 \times 1,2 \times 1,105 \times 155 \left[\frac{0,0147}{0,82} + \frac{4,5}{150} \right] \times (1 + 0,846 \times 1,2) = 124,29 \text{ руб – затраты}$$

в) амортизационные отчисления.

Амортизационные отчисления машины определяются по формуле 86

$$A = 1,1 \times a_u \frac{k}{T} \quad (86)$$

где a_i – нормы амортизационных отчислений в долях единицы. Принимаем $a_i = 0.24$.

Тогда амортизационные отчисления составят

$$\text{Для БТ: } A = 1.1 \times 0.24 \frac{5600000}{2454} = 602.44 \text{ руб.}$$

$$\text{Для РТ: } A = 1.1 \times 0.24 \frac{5712000}{2454} = 614.49 \text{ руб.}$$

г) затраты на топливо для строительных машин определяются по формулам 87 и 88:

$$Z_{\text{топ}} = 1.1 \sum_i H_i \times W \quad (87)$$

$$W = N \times k \quad (88)$$

где H_i –тариф на топливо $H_i = 35.0 \text{ руб. / л.}$

W – затраты топлива на 1 маш.ч. работы машины;

$$bI = 1.1 \times 35.0 \times 13.63 = 524.75 \text{ руб. маш.ч.}$$

$$PI = 1.1 \times 35.0 \times 13.63 = 524.75 \text{ руб. маш.ч.}$$

д) затраты на смазочные материалы определяются по формуле 89:

$$Z_s = k \cdot Z_{\text{топ}} \quad (89)$$

где $k = 0.22$ – коэффициент перехода от затрат на топливо к затратам на смазочные материалы.

$$\text{БТ: } Z_s = 0.22 \cdot 524.75 = 115.45 \text{ руб. маш.ч.}$$

$$\text{РТ: } Z_s = 0.22 \cdot 524.75 = 115.45 \text{ руб. маш.ч.}$$

Расчетные величины сводим в таблицу 13

Таблица 13 Калькуляция текущих затрат

Статьи затрат	Обозначения	Затраты, руб	Р1
1	2	3	4
Зарплаты операторам	З _о	426,04	426,04
Отчисления на социальные нужды	З _{со}	127,81	127,81
Затраты на ГО и ГР	Р _{рем}	124,29	124,29
Отчисления на амортизацию	Х	602,44	602,44
Затраты на топливо	З _т	524,75	524,75
Затраты на смазку	З _{см}	115,48	115,48
Общая сумма затрат	С	1920,78	1932,83

4.5 Определение годового экономического эффекта

Годовой экономический эффект определяется по формуле 90

$$\Delta = H'' \left[\frac{C'}{H} - \frac{C''}{H''} + E \left(\frac{k'}{H} - \frac{k''}{H''} \right) \right] \quad (90)$$

где H'' – годовой объем работ, выполняемый с использованием Р1,

C – себестоимость;

k – капиталовложение;

$E_H = 0,15$ – нормативный коэффициент сравнения эффективности капитальных вложений.

$$\Delta = 1717800 * \left[\frac{1920,78}{596} - \frac{1932,83}{700} + 0,15 * \left(\frac{5600000}{1462584} - \frac{5712000}{1717800} \right) \right] = 921770,7 \text{ руб.}$$

4.6 Определение удельной фондоемкости

Удельная фондоемкость вычисляется по формуле 91

$$\phi_i = \frac{k}{H} \quad (91)$$

Для БТ: $\phi_i = \frac{5600000}{1462584} = 3,82 \text{ руб./ч. м}^3$

Для Р1: $\phi_i = \frac{5712000}{1717800} = 3,32 \text{ руб./ч. м}^3$

4.7 Определение годовых эксплуатационных издержек

Годовые эксплуатационные издержки вычисляются по формуле 92

$$\Theta_e = C \cdot H \quad (92)$$

Для Б1. $\Theta_e = 1920.78 \cdot 2454 = 4713594.12 \text{ руб.}$

Для Р1 $\Theta_e = 1932.83 \cdot 2454 = 4743164.82 \text{ руб.}$

4.8 Снижение затрат на материалы

Снижение затрат на материалы определим по формуле 93.

$$\Delta Q = (g_1 - g_2) / 7 \quad (93)$$

где g_1 и g_2 - соответственно, удельная материалоемкость продукции, вырабатываемой техникой до и после реконструкции.

Определим удельную материалоемкость по формуле 94

$$g_1 = \frac{Q}{T_{\text{ср}} \times k_m \times H} \quad (94)$$

где Q - масса машины, т;

$k_m = 0.8$ - коэффициент использования материала,

$T_{\text{ср}}$ - срок службы машины.

$$g_1 = \frac{36730}{8 \times 0.8 \times 1462584} = 0.0039 \text{ кг / м}^3$$

$$g_2 = \frac{36810}{8 \times 0.8 \times 1717800} = 0.0033 \text{ кг / м}^3$$

Тогда ΔQ будет.

$$\Delta Q = (0.0039 - 0.0033) \times 1717800 = 0.96 \text{ кг / м}^3$$

4.9 Расчет срока окупаемости

Срок окупаемости затрат вычисляем по формуле 95

$$T_{oc} = \frac{Up}{\varTheta} \quad (95)$$

Для РГ : $T_{oc} = \frac{100000}{921770.7} = 0.108 \text{ лет}$

Где: Up – затраты на реконструкцию рабочего органа экскаватора, которые составляют 100000 руб., \varTheta – годовой экономический эффект

Снижение затрат труда на единицу выпускаемой продукции (при реконструкции машины) вычисляем по формуле 96:

$$\Delta R = \left[\frac{T_i \left(n + \frac{r_o}{t_o} \right)}{P} - \frac{T_i \left(n + \frac{r_o}{t_o'} \right)}{P} \right] P \quad (96)$$

где n – число членов экипажа, чел.

Тогда,

$$\Delta R = \left[\frac{\frac{2454 \cdot 1 + 4.5}{150}}{1462584} - \frac{\frac{2454 \cdot 1 + 4.5}{150}}{1717800} \right] \times 1717800 = 215 \text{ руб./год}$$

Результаты расчетов сводим в таблицу 14

Таблица 14 – Основные технико-экономические показатели реконструкции

№ п/п	Показатели	Ед. изм.	Величины Проекти	бак
1	Масса машины	т	30,810	30,750
2	Мощность двигателя	кВт	250	250
3	Оксплуатационная производительность	часовая м ³ /ч	700	596

Продолжение таблицы 14

4	Инвентарно-расчетная стоимость машины	руб	5100000,00	5000000,00
5	Удельная фондоемкость	руб./ м ³	3,32	3,82
6	Годовые эксплуатационные издержки	руб./год	4743164,82	4713594,12
7	Затраты на реконструкцию	руб.	100000	-
8	Снижение удельной металлоемкости	т	0,961	-
9	Годовой экономический эффект	руб.	921770,7	-
10	Срок окупаемости затрат	лет	0,108	-
11	Снижение затрат труда	чес/ч год	215	-

5 ОХРАНА ТРУДА И ПРОИЗВОДСТВЕННАЯ БЕЗОПАСНОСТЬ

5.1 Анализ вредных факторов, возникающих при работе гидроцилиндров траншеекопателя

С точки зрения охраны труда анализ потенциально опасных и вредных факторов необходимо провести с учетом возможных положений проектируемой техники. В качестве проектируемого объекта выступает траншеекопатель динамического действия. Возможные опасные факторы, которые могут возникнуть при эксплуатации и ремонте траншеекопателя приведены в таблице 15.

Таблица 15 – Анализ потенциально вредных и опасных факторов

Факторы	Источник	Количественная оценка	Норматив
Шум	Двигатель, трансмиссия, активного действия	РО < 275 дБ	ГОСТ 12.1.003-83
Недостаточное освещение темное время	Выполнения работ в ночное изменение	≤ 150 лк	СниГП-4-79
Вибрация	Двигатель, трансмиссия, активного действия	РО < 107 Гц	ГОСТ 12.1.012-90 ДПАОН 0.03-3.11-84, ДПАОН 0.03-3.12-84,
Загрязненность микроклимат	Двигатель	СО< 45 мг/год	ДПАОН 0.03-3.15-86
Влажность	Внешняя среда	40-60%	ГОСТ 12.1.007-86
Продолжительность стойкость	Безумное оборудование	K _y 1,15	ГОСТ 23.25-79
Надежность фиксации РО	Гидроцилиндр	Δl= 0,003 м/с	ГОСТ 23734-79
Возникновение пожара	Заключения не выполнение правил пожарной безопасности	не	СниГ 2.01.02-85, ПАРВ А01.001-95
Электрический ток	Привод	>0,01 А	ГОСТ 12.1.014-84

Работа операторов машин для земляных работ характеризуется повышенной

затратой мускульной энергии. При выполнении рабочих процессов мускульная энергия расходуется на перемещение рычагов и педалей.

Управляя бульдозером, погрузчиком, одноковшовым экскаватором, оператор производит 2000...6800 включений механизмов в течение 1 ч. Это соответствует затрате энергии за 1 ч более 290 Вт.

Условия работы на автогрейдере, скрепере, многоковшовом экскаваторе, уплотняющей машине связаны с несколько меньшей затратой мускульной энергии, но из-за необходимости постоянного сосредоточения внимания их относят к категории тяжелых. Таким образом, при оценке микроклимата в кабине управления машиной следует учитывать выделение человеком теплоты в указанном количестве.

Проектируемые машины универсального исполнения (бульдозеры, погрузчики) могут разрабатывать сильно пылящие грунты и материалы, среди обработкающих повышенной токсичностью, неприятными запахами. Машины относительно узкого назначения (автогрейдеры, скреперы, экскаваторы) при своем взаимодействии с обрабатываемой средой создают таким образом повышенную запыленность атмосферного воздуха. В средних условиях, при разработке суглинистых и супесчаных грунтов на открытых площадках содержание пыли в воздухе возле работающей землеройной машины составляет 40...50 мг/м³.

Правильно отрегулированный и исправный двигатель внутреннего сгорания обычно дает содержание оксида углерода (СО) в выхлопных газах не более 0,2 %. Поэтому при работе на открытых площадках выше естественного при проветривания уровень концентрации СО и других веществ в воздухе не превышает ПДК [1:8]. Однако работа машины в глубоких узких котлованах, в длинных туннелях, в помещениях испытательных стаций может привести к чрезмерному скоплению в воздухе токсических веществ. Ввиду этого при проектировании машины специального назначения следует оговорить условия обеспечивающие вентилирование закрытых рабочих площадок.

Степень освещенности рабочих площадок в темное время суток зависит от

Характеристики звуков и действие их на организм оператора

Звуковые колебания возникают в результате колебаний частиц в твердой, жидкой и газообразной средах. По происхождению эти колебания делят на механические (от колебания машин), аэродинамические (от колебаний при течении газов), гидродинамические (от колебаний при течении жидкостей) и электромагнитные (в связи с переменной магнитных и электрических полей). По частоте колебаний звуки подразделяют: на инфразвук - с частотой до 20 Гц, слышимый звук - 20...20 000 Гц и ультразвук - выше 20 000 Гц.

Инфразвук возникает при работе дизельных и реактивных двигателей, компрессоров и вентиляторов. При скорости движения автомобиля, например, более 70 км/ч при открытых поворотных форточках в кабине и в салоне кузова инфразвуки возникают в результате удара потока воздуха о приспособления (например, раму форточки). Это явление называют ветровым фильтром (с уменьшением объема кабины или салона инфразвук увеличивается).

В обычном понимании орган слуха человека не воспринимает инфразвуки. Особенностью действия инфразвука является высокая специфическая чувствительность органа слуха к низкочастотным колебаниям. Инфразвук с частотой 7 Гц совпадает с ритмом биотоков мозга, поэтому эта частота наиболее опасна. Кроме того, инфразвуки воспринимаются поверхностью тела.

Шум (слышимый звук) возникает при работе экскаваторов, компрессоров, бульдозеров, автомобилей-самосвалов, тракторов, автогрейдеров и других строительных машин.

Совокупность слышимых звуков, сочетающая множество различных тонов и частот с беспорядочной интенсивностью и продолжительностью, называют шумом. Но под шумом понимают также всякий паже избытый для человека звук, мешающий восприятию необходимых звуков или нарушению спокойствия.

Действие шума на организм человека проявляется в поражении органов слуха и нарушении систем (сердечно-сосудистой, центральной нервной), а также ослаблении памяти, изменениях кожной чувствительности.

Ультразвук применяют для интенсификации технологических процессов (при механической обработке твердых и хрупких материалов, сварке, тужении, травлении), в дефектоскопии, иногда для мойки деталей при ремонте строительных машин.

Ультразвук порождает в тканях человека тепловой эффект. Энергия ультразвука, поглощенная тканью, переходит в теплоту и повышает температуру тела. Ультразвуковая волна вызывает в тканях высокое давление, в связи с чем изменяются свойства клеток.

Систематическое воздействие ультразвуковых волн на организм человека вызывает быструю утомляемость, боль в ушах и голове, нарушает равновесие, развивает невроз и гинотонию. Вблизи оборудования, генерирующего ультразвуковые колебания, возникает шум до 120 дБ.

Шум классифицируют по следующим признакам:

1. По происхождению: механический шум (следствие вибраций поверхностей машин и оборудования, а также одиночных или периодических ударов в соединениях деталей или конструкций в целом); аэродинамический (возникающий при движении газов, например, при истечении сжатого воздуха или газа из отверстий, пульсации давления при движении потоков воздуха или газа в трубах и др.); электромагнитный (возникающий вследствие колебаний элементов электромеханических устройств под влиянием переменных магнитных полей, например колебания статора и ротора); гидромеханический (при стационарных и нестационарных процессах в жидкостях, например при гидравлических ударах).

2. По времени действия на организм: постоянный и непостоянный - колеблющийся во времени, прерывистый и импульсный.

3. По спектральному составу: низкочастотный - с частотой колебаний не более 400 Гц; среднечастотный - от 400 до 1000 Гц; высокочастотный - более 1000 Гц.

4. По ширине спектра: широкополосный (включющий в себя все частоты звукового давления) и узкополосный.

Кроме того, шум подразделяют на воздушный, распространяющийся в воздушной среде от источника возникновения до места наблюдения, и структурный, излучаемый поверхностями колеблющихся конструкций стен, перекрытий, перегородок зданий в звуковом диапазоне частот.

Помимо рассмотренных вредных факторов в ходе выполнения рабочих операций, при транспортировании машины, в процессе ее технического обслуживания и ремонта возникают опасности, которые могут привести к несчастному случаю. Чтобы обеспечить максимальную безопасность эксплуатации проектируемой машины, анализируют возможные опасности и последствия их возникновения. Отказы в работе гидроприводов, фрикционных муфт, тормозов, канатных систем, ведущие к авариям, наблюдаются при обрыве тросов, канатов, разрушении кронштейнов крепления цилиндров и вследствие значительного износа деталей муфт и тормозов, а также в результате действия чрезмерных динамических нагрузок. В названных случаях может произойти падение поднимаемого груза и рабочего оборудования. Погла оказывается невозможным торможение машины либо ее агрегатов. Перечисленное может привести к авариям и к травмированию лиц, обслуживающих машину.

5.2 Нормативные параметры метеорологических условий и допустимое содержание вредных веществ в воздухе рабочей зоны при работе пенного траншеекопателя

Оптимальные и допустимые нормы температуры, относительной влажности и скорости движения воздуха в рабочей зоне производственных помещений установлены ГОСТ 12.1.005-76 «Воздух рабочей зоны». Эти нормы разработаны с учетом избытков явной теплоты, категорий работ и периодов года. Под явной теплотой имеют в виду теплоту, поступающую в рабочее помещение от оборудования, отопительных приборов, нагретых материалов, людей и других источников теплоты, в результате испарения и воздействующее на температуру воздуха в этом помещении. Периоды года подразделяют на теплый, характеризуемый среднесуточной температурой наружного воздуха $T_{\text{н}}$

10°C и выше, и холодный с среднесуточной температурой наружного воздуха ниже +1°C. Классификация и предельно допустимое содержание вредных веществ в воздухе рабочей зоны изложены в ГОСТ 12.1.005-76 и ГОСТ 12.1.007-76* «Вредные вещества».

По степени воздействия на организм человека вредные вещества劃分为 four classes of danger:

1-й - чрезвычайно опасные;

2-й - высокоопасные;

3-й - умеренно опасные

4-й - малоопасные.

Предельно допустимые концентрации (ПДК) вредных веществ в воздухе рабочей зоны - это такие, которые при ежедневной работе в течение 8 ч или другой продолжительности за время всего рабочего стажа не могут вызвать заболеваний или отклонений в состоянии здоровья человека в процессе работы и в последующем.

По ГОСТ 12.2.023-76 «Кабина. Рабочее место водителя» в кабинах грузовых автомобилей принудительная вентиляция должна обеспечивать подачу свежего воздуха в количестве не менее 30 м³/ч на одного человека и температуру в зонах расположения ног, головы и пояса водителя не менее -15°C при наружной температуре до -25°C.

В кабинах тракторов по ГОСТ 12.2.019-76 «Тракторы и машины самоходные сельскохозяйственные» температура воздуха в теплый период должна быть на 2-3°C выше температуры наружного воздуха, но не ниже -14°C и не выше +28°C при относительной влажности 40-60%.

В совокупности с температурой, влажностью и скоростью движения воздуха окружающей среды, барометрическим давлением теплое излучение расплавленного парафина образуют производственный микроклимат. Параметры микроклимата нормируются ДСТ 3.3.6-042 - 99. Этим документом установлены оптимальные и допустимые величины температуры, относительной влажности и скорости движения воздуха.

5.3 Общие положения по охране труда при выполнении земляных работ

Во время проектирования траншеекопателя динамического действия учитывались такие положения охраны труда:

- для защиты оператора от поражения электрическим током, управление рабочим процессом полностью автоматизировано и не нуждается в ручном управлении и управляется дистанционно;

- для защиты оператора от вибрации, между рамой рабочего органа и рамой машины, установленные упругие элементы;

- для предотвращения поражения производственной пылью, машинист работает со средствами индивидуальной защиты;

для предотвращения поражения кусками разрабатываемого материала, вынос грунта из траншеи происходит направленно благодаря метательно.

для сосредоточенного освещения рабочего органа во время рабочих операций, на раме рабочий орган установлены отдельные осветительные приборы

- для уменьшения вибрации, которая передается от режущих элементов, между лезвием рабочего органа и его рамой установлены упругие элементы виброгасительные элементы;

- для уменьшения шума во время разработки, рабочие зубья установлены модульно;

1. Действие Инструкции распространяется на все подразделения предприятия.

2. Инструкция разработана на основе "Рекомендаций по охране труда относительно "Порядка обработки и утверждения вида нормативных документов об охране труда, которые действуют на предприятии", "Методика разработки инструкций по охране труда для работающих", "Типового положения об обучении, инструктаже и проверке знаний работников по вопросам охраны труда" Стандарт ИСО 4-80*, ГОСТ 12.1013-75.

3. Инструкция действует на протяжении 3 лет со дня утверждения

4. По данной инструкции оператор инструктируется перед началом работы на

предприятия (первичный инструктаж), а потом через каждые 3 месяца (повторный инструктаж). Результаты инструктажа заносятся в "Журнал регистрации инструктажей по вопросам охраны работы", в журнале после прохождения инструктажа должен быть подписан инструктирующим и оператора.

5. Владелец должен застраховать оператора от несчастных случаев и профессиональных заболеваний. В случае ухудшения здоровья по вине владельца, он (оператор) имеет право на возмещение причиненной ему врем

6. За невыполнение данной инструкции оператор несет юридическую, материальную, административную и уголовную ответственность.

7 Оператор должен

7.1. Выполнять только ту работу, которая поручена мастером (прорабом) и по которой проинструктированный.

7.2. Не выполнять указания, которые противоречат правилам охраны труда

7.3. Не допускать посторонних лиц на свое рабочее место.

7.4. Помнить о личной ответственности за выполнение правил охраны труда и за безопасность сослуживцев.

7.5. Уметь оказывать первую медицинскую помощь при несчастных случаях.

7.6. Уметь пользоваться первичными средствами пожаротушения

8. Главные опасные и вредные производственные факторы, которые действуют на оператора:

8.1. Неудовлетворительные метеорологические условия.

8.2. Физические нагрузки.

8.3. Загроможденность рабочего места.

8.4. Отсутствие специальных устройств, инструмента и оборудования для ведения работ согласно принятой технологии.

8.5. Незащищенные токопроводящие части

8.6. Недостаточная освещенность рабочей зоны

9. Оператор обеспечивается спасодеждой, спасобувью, средствами индивидуальной защиты: хлопчатобумажный костюм, комбинированный

варежками, кожаными ботинками; на работах в мокром грунте - брюки брезентовые; на внешних работах зимой дополнительно куртка, брюки хлопчатобумажные на гелевой подкладке, валенки.

10. К началу выполнения земляных работ, в местах расположения действующих подземных коммуникаций, должны быть разработаны и согласованы с организациями, эксплуатирующими эти коммуникации, мероприятия по безопасным условиям работы, а расположение подземных коммуникаций на местности обозначено соответствующими знаками или надписями.

11. Выполнение земляных работ в зоне действия подземных коммуникаций следует выполнять под непосредственным руководством прораба или мастера в охранной зоне кабелей, которые находятся под напряжением и при действующем газопроводе, кроме того, под надзором рабочих электротехнического хозяйства.

12. Перед началом выполнения земляных работ на участках с возможным патогенным заражением грунта (свалки, скотомогильники, кладбища и т.д.) необходимо иметь разрешение органов Государственного санитарного надзора.

13. Котлованы и траншеи, которые разрабатываются на улицах, проспектах, на дворах населенных пунктов, а также в местах движения людей и транспорта, должны быть огражденные защитной изгородью. На изгороди необходимо установить предупредительные панели и щитки, а в ночное время - специальное освещение.

Места перехода людей через траншеи должны быть оборудованы переходными мостиками, освещаемыми в ночное время.

14. Рабочие места оператора должны быть обеспеченные испытанной инвентарной изгородью, защитными и предупредительными устройствами, приспособлениями, изготовленными по типовым проектам и установленными согласно ГПВР.

15. Опускаться в траншее (котлованы) следует по стремянкам и приспособленным стремянкам. Запрещается опускаться по распоркам крепления.

16. Переходить через канавы и траншеи необходимо только в установленных

местах по переходным мостикам.

17. Инвентарные светильники для освещения рабочего места необходимо располагать так, чтобы не было ослепления рабочих

18. Оператор получает индивидуальные средства защиты (использующиеся им разрешается только после инструктажа):

18.1. При работе в местах с возможным появлением газа - промышленный фильтрующий противогаз.

18.2. При работе с электрифицированным инструментом - для рыхления грунта, разрушение бетона, рубка металла и прочее - диэлектрические перчатки, респираторы, защитные очки.

18.3. При выполнении работ на земляных сооружениях с наклоном более 30° - предупредительный пояс и страховочный канат.

18.4. При работе с пневмоинструментом - виброзащитная варежка

18.5. При всех видах работ - защитную каску с подшлемником

19. Рукоятки кувалд, кирок должны быть гладко обработанные и расклиниченные лубовыми или металлическими клиньями, а рукоятки топор закреплены шурупами.

20. Запрещается применять ручной инструмент, который имеет сколы рабочих концов, заусеницы и острые ребра в местах вождения рукой, трещины и сколы затылочной части.

21. Работать с пневмо- и электроинструментом имеет право оператор, который прошел соответствующее обучение и имеет удостоверение

Требования безопасности перед началом работы

1. Перед началом работы необходимо:

Осмотреть рабочие места и подходы к ним.

Проверить исправность инструмента и инвентаря.

Проверить освещенность рабочих мест. Светильники должны устанавливаться таким образом, чтобы не было ослепления рабочих

2. Перед работой необходимо проверить исправность пневмоинструмента, надежность соединения резинового шланга с инструментом, а также герметичность

крепления рабочей части в буксе.

3. К началу разработки траншеи (котлована) необходимо принять мероприятия по отводу поверхностных вод.

Правила безопасности во время работы

1. Грунт, вынутый из котлована или граници, следует размещать на расстоянии не меньше 0,5 м от бровки

2. Не допускается разработка траншей, котлованов методом "подкова"

3. Валуны, камень, а также отслоение грунту, выявленные на откосах, необходимо удалить.

4. Копание котлованов и траншей с вертикальными стенками без креплений в скальных и незамерзших грунтах выше грунтовых вод и при отсутствии близ подземных сооружений допускается на глубину не больше (метров):

1,0 - в насыпных, песчаных и крупнообломочных грунтах, 1,25 - в супесях, 1,5 - в суглинках и глинах.

5. Крутизна откосов (отношение глубины откоса к его заключению) котлованов, которые разрабатывают без креплений, определяют согласно таблицы 16.

Таблица 16 – Крутизна откоса котлованов

Грунты	При глубине выемок, м, не больше		
	1,5	3,0	5,0
Насыпные неутрамбованные	1:0,67	1:1	1:1,25
Песчаные и гравийные	1:0,50	1:1	1:1,00
Супесь	1:0,25	1:0,67	1:0,88
Суглинок	1:0	1:0,50	1:0,75
Глина	1:0	1:0,25	1:0,50
Леси	1:0	1:0,50	1:0,50

Примечание. В случае напластования разных видов грунтов крутизна откосов для всех пластов надо выбирать по слабым грунтам.

5.4 Правила для лиц, находящихся вблизи цепного транспортатора

Машинист должен принимать меры, чтобы лица, находящиеся (вблизи) землеройно-транспортных машин, соблюдали следующие основные правила:

1. Любой человек, находящийся в зоне движения машины или в непосредственной близости от места ее работы, должен следить за движением машины и не мешать ее работе и перемещению.

2. При маневрировании машин задним ходом, особенно бульдозера, любой работник должен быть удален из зоны маневрирования.

3. Запрещается проходить под поднятым рабочим оборудованием машины или в непосредственной близости от него.

4. На территории строительства или карьера люди должны ходить по пешеходным дорожкам, а если дорожек нет, то по левой стороне дороги. Тюки с песком, ручными тележками, санками, должны двигаться по крайней полосе дороги.

5. Насколько в зоне работы землеройно-транспортных машин все работники и пешеходы должны:

- не перебегать внесанкционные пути движения машин;
- обходить стоящие машины только спереди, но не под поднятым рабочим оборудованием;
- уступать дорогу движущейся машине;
- переходя постоянные пути двустороннего движения машины, сначала посмотреть налево по направлению перехода, а затем до середины дороги, направо;
- без служебной надобности не подходить к работающей или находящейся на стоянке машине.

5.5 Пожарная безопасность и средства тушения пожаров

Пожарная безопасность – это состояние объекта, при котором исключается возможность пожара, а в случае его возникновения предотвращается воздействие

на людей опасных факторов пожара и обеспечивается защита материальных ценностей

Пожар - это неконтролируемое горение вне специального очка. Плохойнее материальный ущерб (в этом определении не отражена опасность, которую представляют пожары для людей).

Горение - это химическая реакция окисления, сопровождающаяся выделением большого количества тепла и света. Различают несколько видов горения: вспышка, возгорание, воспламенение, самовозгорание, самовоспламенение, взрыв.

Пожарная профилактика основывается на исключении источников, необходимых для горения, и использовании принципов обеспечения безопасности

При обеспечении пожарной безопасности решаются четыре задачи

- предотвращение пожаров и загораний;
- локализация возникших пожаров;
- защита людей и материальных ценностей;
- гашение пожаров.

Предотвращение образования источников возгорания достигается следующими мероприятиями:

- соответствующее исполнение, применение и режим эксплуатации машин и механизмов,

- ликвидация условий для самовозгорания;
- регламентация допустимой температуры и энергии искрового разряда

Пожарная защита реализуется следующими мероприятиями

- ограничение распространения пожара;
- применение средств пожаротушения;
- регламентация пределов огнестойкости
- применение пожарной сигнализации и др

Процесс горения прекращается, если:

- очаг горения изолируется от воздуха;

- концентрация кислорода снижается до предельного значения (для большинства веществ - до 12... 15 %);
- горящие вещества охлаждаются ниже температур самовоспламенения;
- осуществляется интенсивное ингибирование (торможение скорости химической реакции в пламени).

Вещества, которые способствуют созданию перечисленных выше условий, называются огнетушащими.

К огнетушащим веществам относятся вода, водные растворы, водяной пар, пена, углекислота, инертные газы, сжатый воздух, порошки, песок, земля и т.д.

Причины пожаров:

искрение электрического оборудования и электроустановок, короткое замыкание,

небрежное обращение с огнем.

Средства тушения пожаров. К первичным средствам пожаротушения относятся все виды переносных и передвижных огнетушителей, оборудование пожарных кранов, ящики с порошковыми составами (песок, перлит и т.д.), а также огнестойкие ткани (асбестовое полотно, кошма, войлок и т.д.), пожарный щит. Для размещения первичных средств пожаротушения образуют инвентарный пожарный щит.

Огнетушители бывают углекислотные, хлораторные, порошковые

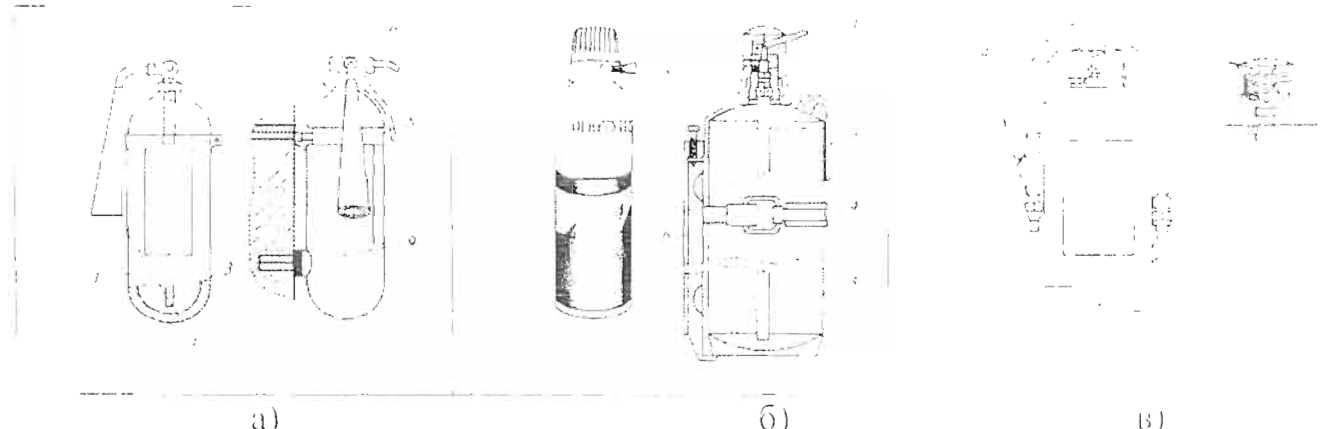


Рисунок 25 – Огнетушители:

а - ручной углекислотный ОУ-5 (ОУ-8).

б - хладоновый огнетушитель ОУБ-ЗЛ (ОУБ-7Л).

в - ручной порошковый огнетушитель ОП-5

5.6 Расчет устойчивости цепного граншеекопателя

Определение центра масс машины

При определении центра масс машины начальную систему координат X_0, Y_0, Z_0 принимаем в точке сечения проекции оси ведущих колес на опорную поверхность с вертикальной продольной плоскостью симметрии машины.

Ось машины x лежит на опорной поверхности и направлена в сторону кормы, ось z направлена вертикально вверх. Ось y направлена к правому борту машины.

Массы узлов приняты в расчетах - предыдущие.

Рабочее положение машины.

В таблице 17 определены положения центра масс машины в рабочем положении при рытье котлована глубиной 0,8м.

Таблица 17 – Центра масс машины в рабочем положении

Название элементов	$m, кг$	$X, м$	$Z, м$
1	2	3	4
Базовый тягач	25000	-3,200	0,816
Экипаж 1 чел	80	-6,685	2,2
Базовый тягач с экипажем	25080	-3,211	0,82
Рама РО	830	3,67	0,59
Цепь	1700	3,67	0,59
Натяжной вал	370	4,691	-0,32
Приводные валы	820	2,66	1,51
Фрезы 4 шт	160	4,691	0,7
Ферма	100	2,941	1,9
Рабочий орган с фрезами	4080	3,655	0,689
Корпус магнита	3800	2,2	1,85
Раздаточная коробка	1085	1,4	1,7
Раздаточный редуктор	355	2,52	1,5
Гидроцилиндры рабочего органа	300	2,75	2,95

Продолжение таблицы 17

1	2	3	4
Корпус метателя с узлами	5540	2,094	1 858
Рама промежуточная	670	0,63	1,3
Гидроцилиндры	80	1,05	0,88
Шланг с гранемисией	100	0,5	1,3
Рама промежуточная с узлами	850	0,654	1 26
Рама подъема	820	0,35	1,18
Гидроцилиндры перекоса	40	0,6	0,85
Рама подъема с узлами	860	0,362	1 126
Гидроцилиндры рабочего органа	400	-1,1	1,3
Рама подъема с узлами и гидроцилиндрами	1260	-0,102	1 181
Рабочее оборудование	11730	2,297	1 335
Минина без экипажа в рабочем положении	36730	-1,445	0,982
Минина с экипажем в рабочем положении	36810	-1,445	0,985

В таблице 18 определено положения центра масс машины при транспортном положении рабочего оборудования.

Таблица 18 – Центра масс машины в транспортном положении

Название элементов	М, кг	X, м	Z, м	4
1	2	3	5	4
базовый тягач	25080	-3,211	0,82	
Рабочий орган с фрезами	4080	-2,23	3,96	
Корпус метателя	5540	-0,82	3,38	
Рама промежуточная	850	-0,02	1,99	
Рама подъемная	1260	0,15	1,73	
Минина с экипажем в транспортном положении	36810	-2,554	1,611	

Перевод рабочего оборудования в транспортное положение

Рассмотрим полуторанспортное положение, которое отвечает началу перевода рабочего оборудования в транспортное положение гидроцилиндрами управления

Таблица 19 Центра масс машины в полуторспортном положении

Название элементов	<i>m</i> , кг	<i>x</i> , м	<i>z</i> , м
Базовый тягач		-3,211	0,82
Рабочий орган с фрезами	25080 4080 5540	2,83 2,167 0,654	2,86 1,813 1,260
Корпус молотеля	850	-0,102	1,181
Рама промежуточная	1260		
Рама подъемная			
Машина с экипажем в транспортном положении	36810	-1,536	1,218
—	—	—	—

Устойчивость машины

Транспортное положение:

Определим предельный статический угол спуска из условия прохождения устойчивости машины:

$$\alpha_{\text{одн}} = \arctg \frac{L + v}{z} = \arctg \frac{3,91 - 2,554}{1,661} = 40^\circ 05'.$$

где $L = 3,91$ м - расстояние от ведущей звездочки к первому опорному катку,

$v = -2,554$ м, $z = 1,661$ м - координаты центра массы машины в транспортном положении.

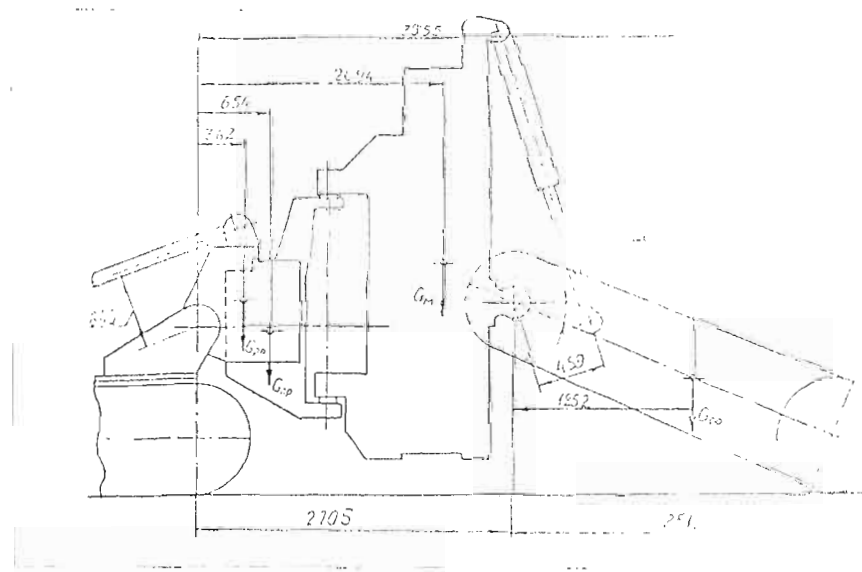


Рисунок 26 Схема действия сил тяжести от рабочего органа

Определяем предельный статический угол косогора из условия поперечной устойчивости машины

$$\alpha_{\text{ж}} = \arctg \frac{0,5 \cdot \hat{A}}{z} = \arctg \frac{0,5 \cdot 2,65}{1,611} = 39^{\circ}26'.$$

где $\hat{A} = 2,65$ м - колея базового тягача по серединам гусениц.

Полутранспортное положение.

Проверяем устойчивость машины в начальне перевода рабочего оборудования в транспортное положение гидроцилиндрами укатки. Для этого определяем предельный статический угол подъема из условия продольной устойчивости машины:

$$\alpha_{\text{ж}} = \arctg \frac{L_2 - x}{z} = 41^{\circ}51',$$

где $L_2 = -0,445$ м - расстояние от ведущей звездочки до 12-го опорного катка;

$x = -1,536$ м, $z = 1,218$ м - координаты центра массы машины в полутранспортном положении.

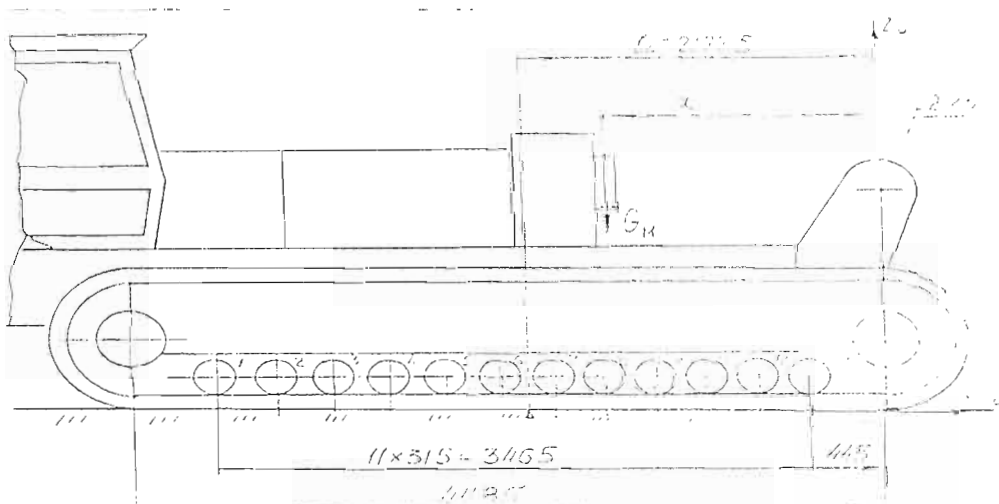


Рисунок 27 - Определение нагрузок на ходовые катки

Определение опорного момента:

$$M_o = G_r l_r \sin \alpha = 30000 \cdot 2,0 = 60000 \sin \alpha \text{ Н} \cdot \text{м}.$$

Определение удерживающий момент:

$$M_u = (G_r l_r) \cos \alpha = 185000 \cdot 0,55 \cdot \cos \alpha = 101750 \cos \alpha \text{ Н} \cdot \text{м}$$

Учитывая, что в момент перебрасывания реакция колеса равняется нулю

Определяем значение критического угла из уравнения:

$$\sum M_{im} - \sum M_{om} =$$

Отсюда определяем значение α из отношения:

$$\alpha = \arctg \left(\frac{60000}{101750} \right) \approx 30.5^\circ.$$

Полученное значение угла α является тем углом, при котором следует определить перебрасывание машины по трассе с продольным наклоном.

Значение коэффициента устойчивости для движения по трассе с продольным наклоном $K_u \geq 1,15$.

Условие принимает вид:

$$K_u = \frac{\sum M_{im}}{\sum M_{om}} = \frac{185000 \cdot \cos 30.5^\circ}{60000 \cdot \sin 30.5^\circ} = 5.3.$$

Такие данные удовлетворяют условия работы траншеекопателя.

ЗАКЛЮЧЕНИЕ

В данном инженерном проекте рассмотрены наименее критичные рабочие органы экскаватора – траншеекопателя и предложен альтернативный вариант реконструкции с целью повышения производительности машины.

В общей части проанализированы основные направления и общие тенденции развития рабочих органов экскаватора – траншеекопателя, что позволило выявить их достоинства и недостатки, и определить цель реконструкции.

В расчетной части были проведены общий кинематический расчет и расчет производительности машины, которые подтвердили правильность выбранного направления.

В специальной части проекта разработана конструкция рабочего органа с гранитневидным скребковым элементом, который имеет выносящую способность. Рассчитаны силовые показатели. Проведены расчеты пятивного устройства, фрез, гидросистемы привода и расчет параметров. На основании теоретических и расчетных данных были определены рациональные параметры рабочего органа траншеекопателя.

В разделе охрана труда были выявлены потенциально опасные и вредные факторы, возникающие при эксплуатации и ремонте экскаватора траншеекопателя, характеристики и действие их на организм человека. Разработаны общие положения и инструкции при выполнении земляных и ремонтных работ.

Экономический раздел посвящен сравнению эффективности от применения базовой и реконструированной машины. В него вошли расчёт экономической эффективности технических решений в области механизации производства строительных работ, расчёт технико – экономических показателей реконструкции строительных машин. В процессе сравнения доказана высокая эффективность от применения предлагаемой реконструкции.

БИБЛИОГРАФИЧЕСКИЙ СПИСОК

- 1) Дипломное и курсовое проектирование механического оборудования и технологических комплексов предприятий строительных материалов. Изделий и конструкций: учебное пособие / В.С. Болдатов, А.С. Гильин, В.Я. Фозер и др. – М: Издательство Ассоциации строительных вузов, 2006. – 784 с.
- 2) Дунаев Н.Ф. Детали машин. Курсовое проектирование: учебное пособие / Н.Ф.Дунаев, О.Н. Леликов. – М: Машиностроение, 2013. – 559 с.
- 3) Суслов А.Г. Инженерия поверхности деталей машин: монография / А.Г. Суслов, В.Ф. Безъязычный, Ю.В. Панфилов. – М: Машиностроение, 2008. – 320с.
- 4) Черниловский Д.В. Детали машин и основы конструирования: учебник для вузов / Д.В. Черниловский. – М: Машиностроение, 2012. – 672 с.
- 5) Шестопалов К.К. Погрузчики – транспортные, строительные и дорожные машины и оборудование: учебное пособие для стационарных учреждений среднего профессионального образования / К.К. Шестопалов. – М: Издательский центр «Академия», 2005. – 320 с.
- 6) Леликов О.Н. Основы расчета и проектирования деталей и узлов машин: конспект лекций по курсу «детали машин» / О.Н. Леликов. – М: Машиностроение, 2007. – 464 с.
- 7) Довгяло В.А. Дорожно – строительные машины. Часть I: Машины для земляных работ / В.А.Довгяло, Д.И. Бочкарев. – Гомель: БелУГУ, 2010. – 250 с.
- 8) Чижик Г.И. Машины для земляных работ: учебное пособие / Г.И. Чижик. – Могилев: БРУ, 2005. – 250 с.
- 9) Цеблыкин Г.П. Альбом чертежей по строительным машинам: учебное пособие / Г.П. Цеблыкин. – М: РГОГУПС, 2005. – 103 с.
- 10) Болтухин А.К. Инженерная графика. Конструкторская информатика в машиностроении: учебник для вузов / А.К. Болтухин, С.А. Васин, Г.П. Вяткин; под ред. А.К. Болтухина. – М.: Машиностроение-Москва, 2005. – 555с.
- 11) 3D-технология построения чертежа. Компас – 3D: учебное пособие / А.Л. Хейфец, А.Н. Логиновский, И.В. Буторина, Е.Н. Дубовикова. под ред. А.Л. Хейфца. – 3-е изд., перераб. и доп. - СПб.: БХВ-Петербург, 2005. – 245 с.

Таблица А1

ПОСТАНОВЛЕНИЕ А

Konurov

Pumpkin 4,

Таблица 51

Приложение Б

Инв № подл	Подл с датой	Взам инв №	Инв №	Наименование	Кол. на		Примечание
					Лист	Формат	
				<u>Документация</u>			
				151000.62.2016.77100.00.ВО	Рабочее оборудование		
					<u>Сборочные единицы</u>		
				1	Рама рабочего оборудования	1	
				2	Рама поворотная	1	
				3	Метатель	1	
				4	Чрдень	1	
A1				5	Орган цепной рабочий	2	
				6	Элемент скребковый	18	

Оборудование рабочее

ЮЧРГЧ кафедра МИТО МД

Таблица В1

Приложение В

Орган цепной рабочий

Таблица Г1

Приложение Г

Группа №	Группа подразделения	Формула	Зона	Поз.	Обозначение	Наименование	Кол. на		Примечание
							1	2	
<u>Документация</u>									
A1					151000.62.2016.771.00.00.СБ	Узел приводных звездочек			
<u>Детали</u>									
				1		Втулка	2		
				2		Вал	1		
				3		Кольцо	3		
				4		Звездочка цепная	3		
				5		Крышка подшипника	2		
				6		Корпус	2		
<u>Стандартные изделия</u>									
				7		Подшипник 7220	2	7	
						ГОСТ 27365-87			
151000.62.2016.771.04.00									
Инв №	Номер, и дата	Видим №	Инв №	Номер	Подп	Завод			
Ред	Шайба АВ	2016	06.04.16						
Приб	Хомут ЕА	2016	17.04.16						
И.конопр	Немчинова АВ	2016	17.04.16						
Чтвр	Шеркунов ВЛ	2016							
Чертеж приводных звездочек									
ЮЧРГЧ кафедра МИГО МИ									

Таблица Д1

Приложение Д

Серия №	Лист №	Формат	Задача	Лит	Обозначение	Наименование	Кол. на		Примечание
							1	2	
						Документация			
<i>151000.62.2016.77100.00.СБ</i>									
<i>Детали</i>									
		1			Пластина		2		
		2			Пластина		2		
		3			Корпус		6		
		4			Основание		1		
		5			Пластина		1		
<i>151000.62.2016 77107.00</i>									
Изм №	№ документа	Подп.	Дата						
Разработ	Шабрин А В	<i>А.В.Шабрин</i>	<i>9.06.16</i>						
Прод	Хромцова Е А	<i>Е.А.Хромцова</i>	<i>7.06.16</i>						
Исполнитель	Немчинова А В	<i>А.В.Немчинова</i>	<i>15.06.16</i>						
Учеб	Чеканюк В В	<i>В.В.Чеканюк</i>							
<i>Элемент скрепки для свинцовых грузов</i>									
<i>Юрий Ч</i>									
<i>кафедра МУТО МГ</i>									

Таблица Е1

Приложение Е

Система гидравлическая

1250ГЧ
кафе-брэ МуТО МИ

Концепция